

DMW Deutsche Medizinische Wochenschrift

Anschrift für Schriftleitung und Georg Thieme Verlag: 70469 Stuttgart, Rüdigerstraße 14

4 Med. 67 92

119

1994

943-7808

Schriftleitung:

Dr. med. habil. R. Augustin Stuttgart

Prof. Dr. J. F. Riemann Ludwigshafen

Prof. Dr. M. Rothmund Marburg

Prof. Dr. P. C. Scriba München

Prof. Dr. W. Siegenthaler Zürich

Prof. Dr. J. R. Siewert München

Prof. Dr. A. Sturm Herne/Bochum

Register für den 119. Jahrgang

2. Halbjahr 1994 Hefte 27-51/52



Georg Thieme Verlag Stuttgart · New York



Diejenigen Bezeichnungen, die zugleich eingetragene Warenzeichen sind, wurden *nicht* besonders kenntlich gemacht. Es kann also aus der Bezeichnung einer Ware mit dem für diese eingetragenen Warenzeichen nicht geschlossen werden, daß die Bezeichnung ein freier Warename ist. Ebenso wenig ist zu entnehmen, ob Patente oder Gebrauchsmuster vorliegen.

Alle Rechte, insbesondere das Recht der Vervielfältigung und Verbreitung sowie der Übersetzung, vorbehalten. Kein Teil des Werkes darf in irgendeiner Form (durch Photokopie, Mikrofilm oder ein anderes Verfahren) ohne schriftliche Genehmigung des Verlages reproduziert oder unter Verwendung elektronischer Systeme verarbeitet, vervielfältigt oder verbreitet werden.

Some of the product names, patents and registered designs referred to are in fact registered trademarks or proprietary names even though specific reference to this fact is not always made in the text. Therefore, the appearance of a name without designation as proprietary is not to be construed as a representation by the publisher that it is in the public domain.

All rights, including the rights of publication, distribution and sales, as well as the right to translation, are reserved. No part of this work covered by the copyrights hereon may be reproduced or copied in any form or by any means – graphic, electronic or mechanical including photocopying, recording, taping, or information and retrieval systems – without written permission of the publisher.

Aneurysma			Schwere Panzytopenie im hohen Lebensalter nach zwölfmonatiger ACE-Hemmer-Therapie	1029	kas	Anti-Neutrophilen-Zytoplasma-Antikörper		
Aneurysmen beider Arteriae iliacae communes	1082	mq				Churg-Strauss-Syndrom oder chronische eosinophile Pneumonie?	1565	lz
Klinische Bedeutung und echokardiographischer Nachweis von Aneurysmen des Vorhofseptums	1205	adt	Angst			Einseitige diffuse Lungenbeteiligung bei Vaskulitis mit Anti-Neutrophilen-Zytoplasma-Antikörpern sowie Antikörpern gegen glomeruläre Basalmembranen	1071	kas
Subarachnoidalblutung	1322	mq	Erfassung von Angst und Depressivität in der medizinischen Routineversorgung	1283	adt			
Zerebraler ischämischer Insult. Wertigkeit der transösophagealen Echokardiographie in der Diagnostik kardialer Emboliequellen	1585	adt	Anosmie					
			Kallmann-Syndrom. Pathophysiologie und Klinik	1436	üb	Antioxidantien		
Angiitis			Antacida			Antioxidantien	1135	fr
(siehe Vaskulitis)			Therapie der gastroösophagealen Refluxkrankheit	1473	adt	Antiöstrogen		
Angina abdominalis			Anthelmintika			Östrogenantagonisten und Thromboseprophylaxe	1182	fr
Chronische mesenteriale Ischämie	979	or	Gnathostomiasis nach Aufenthalt in Thailand	1618	kas	Antistreptolysin		
Angina pectoris			Antiarrhythmika			Persistierende Antistreptolysin-Titer	1099	fr
Angina pectoris und normales Koronarangiogramm bei arterieller Hypertonie und linksventrikulärer Hypertrophie	1175	üb	Adenosintriphosphat (ATP) bei supraventrikulären Tachykardien im Neugeborenen- und Säuglingsalter	1351	kas	Antituberkulotika		
Die klinische Bedeutung der Konzentrationsbestimmung der Troponine	1013	la	Sotalol	1477	as	Aktuelle Epidemiologie, Diagnostik und Therapie der Urogenitaltuberkulose	1121	adt
Zentralnervöse Vermittlung der Angina pectoris	1604	km	Antibasalmembran-Antikörper			Unverträglichkeit der Tuberkulosetherapie bei AIDS	1728	kas
Angiodysplasie			Einseitige diffuse Lungenbeteiligung bei Vaskulitis mit Anti-Neutrophilen-Zytoplasma-Antikörpern sowie Antikörpern gegen glomeruläre Basalmembranen	1071	kas	Aortendissektion		
Endoskopische intraoperative Diagnostik einer blutenden Angiodysplasie im Jejunum beim Heyde-Syndrom	1603	lz	Anticholinergika			Akute Aortendissektion. Diagnose durch transthorakale Echokardiographie	1297	lz
Angiokeratoma corporis diffusum			Enzephalopathie nach Intoxikation mit einem Anticholinergikum	1803	lz	Aortenisthmusstenose		
Angiokeratoma corporis diffusum	1281	mq	Antigen; Prostataspezifisches			Postduktale Aortenisthmusstenose (Coarctatio aortae)	1548	mq
Angiologie			Prostatakarzinom	1054	lz	Aortenklappenstenose		
Pathologie der Pulmonalarterien bei Lungentumoren	1415	or	Antikoagulation			Operationsindikation bei asymptomatischer hochgradiger Aortenklappenstenose	1630	üb
Angioplastie			Einsatz von niedermolekularem Heparin zur Antikoagulation in der Schwangerschaft	1497	kas	APC		
Akuter Koronargefäßverschluß nach elektiver perkutaner transluminaler Koronarangioplastie. Inzidenz und Therapie bei 5000 konsekutiven Patienten	1023	or	Ist die »International Normalized Ratio (INR)« in der klinischen Praxis unentbehrlich?	1529	la	(siehe Protein C; aktiviertes)		
Retrograde Katheter-Rekanalisation langstreckiger Verschlüsse der Arteria femoralis superficialis	948	or	Operationsindikation bei asymptomatischer hochgradiger Aortenklappenstenose	1630	üb	APC-Resistenz		
Wiedereröffnung chronischer Koronararterienverschlüsse: Welche Faktoren beeinflussen den Erfolg?	1766	or	Orale Kontrazeption bei Protein-C-Mangel	1100	fr	Resistenz gegenüber aktiviertem Protein C	1680	km
Angiotensin-Converting-Enzym-Hemmer			Rupturgefahr bei Nierenzysten	1486	fr	Apnoe-Index		
Angiotensin-Converting-Enzym-Hemmer bei der Behandlung der diabetischen Nephropathie	1298	km	Zerebraler ischämischer Insult. Wertigkeit der transösophagealen Echokardiographie in der Diagnostik kardialer Emboliequellen	1585	adt	Morbidität und Letalität bei Schlafapnoe und nächtlichen Bradyarrhythmien	1187	or
Angiotensin-Converting-Enzym-Hemmer nach Herzinfarkt	1448	fr	Antikörper; Antinukleäre			Appendizitis		
GISSI III: Wirkung von Lisinopril und transdermaler Applikation von Nitroglycerin nach akutem Herzinfarkt	1804	km	Diagnostik und Bedeutung von antinukleären Antikörpern	1137	lz	Operation bei Verdacht auf Appendizitis und Perforation	1059	km
			Antimonpräparate			Arbeitsmedizin		
			Therapie kutaner und mukokutaner Leishmaniosen	1169	adt	Akzidentelle Nadelstichverletzung bei medizinischem Pflegepersonal	1563	fr
						Arcus lipoides corneae		
						Fischaugenkrankheit	1393	kas
						Areflexie		
						Intensivtherapie des Guillain-Barré-Syndroms	1248	üb
						Arginin		
						Gesteigerte vaskuläre Sensitivität auf Nitroglycerin bei Patienten mit Hypercholesterinämie und peripherer Endotheldysfunktion	1065	or

Arteria femoralis superficialis									
Retrograde Katheter-Rekanalisation langstreckiger Verschlüsse der Arteria femoralis superficialis	948	or							
Arteriitis									
Takayasu-Arteriitis	1801	fr							
Arteriosklerose									
Aneurysmen beider Arteriae iliacae communes	1082	mq							
Antioxidantien	1135	fr							
Carotidwandveränderungen bei jungen Typ-I-Diabetikern. Ultraschalldiagnostik der frühen Arteriosklerose	1225	or							
Chronische mesenteriale Ischämie	979	or							
Gesteigerte vaskuläre Sensitivität auf Nitroglycerin bei Patienten mit Hypercholesterinämie und peripherer Endotheldysfunktion	1065	or							
Retrograde Katheter-Rekanalisation langstreckiger Verschlüsse der Arteria femoralis superficialis	948	or							
Arthroskopie									
Baker-Zyste bei osteoartikulärer Tuberkulose des Kniegelenks	1579	kas							
Baker-Zyste bei osteoartikulärer Tuberkulose des Kniegelenks (Berichtigung)	1806								
Arztrecht									
Beschwerden gegenüber der Kassenärztlichen Vereinigung wegen unberechtigter Krankschreibung. Urteil des OLG Frankfurt a.M. vom 16. 12. 1993	1712	ar							
Durchführung von Routineoperationen ohne Beteiligung eines Facharztes. Urteil des OLG Düsseldorf vom 7.10.1993	1255	ar							
Führen der Zusätze »Schmerztherapie« und »Schmerzprechstunde« auf dem Praxisschild. Beschluß des Bundesverfassungsgerichtes vom 15.12.1993	1561	ar							
Liquidationsrecht des Chefarztes bei vorhersehbarer Verhinderung an der Leistungserbringung. Urteil des OLG Hamm vom 4.5.1994	1522	ar							
Rechtsprobleme bei der Forschung in Notfall- und Intensivmedizin	1796	ar							
Zu den Sorgfaltspflichten des auf Überweisung tätigen Arztes. Urteil des Bundesgerichtshofs vom 5.10.1993	1096	ar							
Asbest									
Asbest-induzierte Erkrankungen der Lunge und Pleura	1603	lz							
Ascorbinsäure (siehe Vitamin C)									
Aspergillose; pulmonale									
Pulmonale Aspergillose	1716	lz							
Asterixis									
Medikamentös ausgelöste Asterixis	1221	lz							
Asthma bronchiale									
Asthma bronchiale	974	fr							
Churg-Strauss-Syndrom oder chronische eosinophile Pneumonie?	1565	lz							
Regelmäßige Asthma-Therapie mit β -Sympathikomimetika	1020	km							
Asystolie									
Therapie bradykarder und tachykarder Rhythmusstörungen durch transösophageale Elektrostimulation des Herzens	1405	üb							
Aszites									
Diagnostik des Aszites	1509	adt							
Therapie des Aszites bei Lebererkrankungen	1549	adt							
Ateminsuffizienz									
»Bronchiolitis obliterans organizing pneumonia« mit akuter respiratorischer Insuffizienz	1312	kas							
Syringomyelie als seltene Ursache einer beatmungspflichtigen respiratorischen Insuffizienz	1771	kas							
Ventilatorische Insuffizienz und hyperkapnische Kompensation infolge chronisch belasteter »Atempumpe«. Physiologie, Pathophysiologie und Therapie	1209	üb							
Atmungsstörungen; schlafbezogene									
Morbidität und Letalität bei Schlafapnoe und nächtlichen Bradyarrhythmien	1187	or							
ATP (siehe Adenosintriphosphat)									
Augenspiegel									
Hermann von Helmholtz (1821-1894) – Militärarzt, Sinnesphysiologe und »Reichskanzler der deutschen Physik«. Zum 100. Todestag des universalen Arztes und Naturforschers	1215	mg							
Autoaggression									
Akutes myoglobinurisches Nierenversagen als Folge von autoaggressivem Verhalten bei Oligophrenie	994	kas							
Autoimmunkrankheiten									
Autoimmune Progesterondermatitis	1258	fr							
Autoimmunprozesse als paraneoplastische Manifestationen bei familiärem Mammakarzinom	1194	kas							
Fibromyalgie-Syndrom	1639	lz							
Intensivtherapie des Guillain-Barré-Syndroms	1248	üb							
Sekundäre Neoplasien nach Immunsuppression	1747	üb							
Automutilation (siehe Selbstverstümmelung)									
Autonomie; disseminierte (siehe Hyperthyreose)									
Autonomie; fokale									
Farbdopplersonographisch gesteuerte perkutane Alkoholinstillation zur Therapie der funktionellen Schilddrüsenautonomie	1607	or							
Autoperfusionskatheter									
Langzeitdilataion bei erfolgloser perkutaner transluminaler Koronarangioplastie	1458	or							
AZT (siehe Zidovudin)									
Azzopardi-Phänomen									
Das extrapulmonale Einzelgige Karzinom – eine Rarität?	1591	üb							
Äquivalenz									
Problematik des Äquivalenzbegriffes bei der Therapie mit Glucocorticoiden. Ein Vergleich der klinischen Pharmakokinetik und Pharmakodynamik von Prednisolon und Methylprednisolon	1671	üb							
B									
Bactec-System									
Aktuelle Epidemiologie, Diagnostik und Therapie der Urogenitaltuberkulose	1121	adt							
Baker-Zysten									
Baker-Zyste	1040	mq							
Baker-Zyste bei osteoartikulärer Tuberkulose des Kniegelenks	1579	kas							
Baker-Zyste bei osteoartikulärer Tuberkulose des Kniegelenks (Berichtigung)	1806								

Rubrikenschlüssel

adt = Aktuelle Diagnostik und Therapie
 ar = Arztrecht
 as = Der Arzneistoff
 epi = Epikrise

fr = Fragen aus der Praxis
 gt = Gedenktage
 kas = Kasuistiken
 km = Kleine Mitteilungen
 kom = Kommentare

la = Leitartikel
 lz = Leser-Zuschriften
 mg = Medizingeschichte
 mq = Mediquiz
 nk = Nekrologe

or = Originalien
 pp = Prinzip & Perspektive
 stp = Standpunkte
 üb = Übersichten

BAL (siehe Lavage; bronchoalveoläre)							
Balkenmangel Agenesie des Corpus callosum (Balkenmangel)	1738	mq					
Ballondilatation; von Gefäßen (siehe Angioplastie)							
Ballondilatation; von Darmstenosen Endoskopische Ballondilatation symptomatischer Strikturen bei Morbus Crohn	1377	or					
Ballonkatheter; perfundierbarer Langzeitdilatation bei erfolgloser perkutaner transluminaler Koronarangioplastie	1458	or					
Batten-Krankheit Leere Vakuolen im Zytoplasma der Lymphozyten bei juveniler neuronaler Ceroidlipofuscinose (Spielmeier-Vogt-Krankheit, Batten-Krankheit)	1431	mq					
Beatmung; künstliche Ventilatorische Insuffizienz und hyperkapnische Kompensation infolge chronisch belasteter »Atempumpe«. Physiologie, Pathophysiologie und Therapie	1209	üb					
Belastungs-Elektrokardiographie Klinische und koronarangiographische Befunde bei Frauen mit Thoraxschmerzen	1337	km					
Berichtigungen Baker-Zyste bei osteoartikulärer Tuberkulose des Kniegelenks	1806						
Hypocalcämische Kardiomyopathie als Ursache einer schweren Linksherzinsuffizienz	1414						
Primär kutane Nocardia-farctica-Infektion nach Herztransplantation	1568						
Bernstein-Test Diagnostik der gastroösophagealen Refluxkrankheit	1433	adt					
Berufskrankheiten (siehe Arbeitsmedizin)							
Beta-HCG (siehe Choriongonadotropin; humanes)							
Beta-Rezeptorenblocker Beta-Rezeptorenblocker bei dilatativer Kardiomyopathie	1604	km					
Beta-Rezeptorenblocker als Notfallmaßnahme bei akutem Herzinfarkt?	1715	fr					
Sicca-Symptomatik unter systemischer Therapie mit Beta-Rezeptorenblockern	1783	adt					
Sotalol	1477	as					
Beta-Sympathikomimetika Regelmäßige Asthma-Therapie mit β -Sympathikomimetika	1020	km					
Bilharziose Schistosomiasis und Siegelringzellkarzinom der Ileo-zökalklappe	1058	lz					
Bioprothesen (siehe Herzklappenprothesen)							
Biopsie-Urease-Test Modifizierter ^{13}C -Atemtest in der Diagnostik der Helicobacter-pylori-Besiedlung der gastralen Mucosa	1569	or					
Björk-Shiley-Klappe (siehe Herzklappenprothesen)							
Bleivergiftung Bleiintoxikation durch Menige in Paprikapulver	1756	lz					
Blutdruckkrisen (siehe Krisen; hypertensive)							
Blutdruckregulation Renin-Angiotensin-System und Blutdruckregulation	965	pp					
Blutentnahme; Techniken Hautdesinfektion vor der Blutentnahme	1182	fr					
Blutprodukte Rationale Substitution mit Blut- und Blutbestandteilkonserven	1555	üb					
Blutspende »Look-back«-Studie der DRK-Blutspendedienste	1643	km					
Universal-Spenderblut	1019	lz					
Blutstillung; endoskopische Endoskopische Therapie der Ösophagusvarizenblutung	1443	kom					
Bluttransfusionen (siehe Hämotherapie)							
Blutung Neonatale Alloimmunthrombozytopenie	1512	üb					
Blutung; gastrointestinale Endoskopische intraoperative Diagnostik einer blutenden Angiodysplasie im Jejunum beim Heyde-Syndrom	1603	lz					
Exulceratio simplex Dieulafoy	1699	mq					
Lipom mit zentraler Ulzeration und Blutung	1547	mq					
Risikofaktoren für gastrointestinale Blutungen bei Patienten der Intensivstation	1337	km					
Blutungsneigung (siehe Diathese; hämorrhagische)							
Blutzucker selbstkontrolle Ambulante Versorgung von Diabetikern	1056	lz					
BMD (siehe Knochendichte)							
Borrelia burgdorferi Nachweis von Borrelia-burgdorferi-DNA in der Gelenkflüssigkeit bei Lyme-Arthritis	1451	km					
Bromocriptin Bromocriptin-induzierte Pleuropneumopathie	1543	kas					
Bronchialkarzinom Asbest-induzierte Erkrankungen der Lunge und Pleura	1603	lz					
Hyponatriämisches Koma	1139	lz					
Pathologie der Pulmonalarterien bei Lungentumoren	1415	or					
Bronchiektasen Zystische Fibrose	1259	lz					
Bronchiolitis Obliterans Organizing Pneumonia »Bronchiolitis obliterans organizing pneumonia« mit akuter respiratorischer Insuffizienz	1312	kas					
Bronchitis; eosinophile Churg-Strauss-Syndrom oder chronische eosinophile Pneumonie?	1565	lz					
Bypass-Operation; aortokoronare Akuter Koronargefäßverschluß nach elektiver perkutaner transluminaler Koronarangioplastie. Inzidenz und Therapie bei 5000 konsekutiven Patienten	1023	or					
C							
Calciumbilanz Vitamin D und Osteoporose. Pathogenese – Therapie	1479	üb					
Calciumstoffwechsel Einfluß einer niedrigdosierten Hydrochlorothiazidtherapie auf den Knochenmineralgehalt des axialen und peripheren Skeletts	1645	or					
Carotiswandveränderungen Carotiswandveränderungen bei jungen Typ-I-Diabetikern. Ultraschalldiagnostik der frühen Arteriosklerose	1225	or					
CD4-Lymphozytopenie; idiopathische Idiopathische CD4-Lymphozytopenie mit letaler Salmonella-typhimurium-Sepsis	956	kas					
Ceroidlipofuscinose Leere Vakuolen im Zytoplasma der Lymphozyten bei juveniler neuronaler Ceroidlipofuscinose (Spielmeier-Vogt-Krankheit, Batten-Krankheit)	1431	mq					

CFS (siehe Müdigkeitssyndrom; chronisches)									
C-13-Harnstoff-Atemtest Modifizierter ¹³ C-Atemtest in der Diagnostik der Helico- bacter-pylori-Besiedlung der gastralen Mucosa	1569	or							
Cheiropathie Carotiswandveränderungen bei jungen Typ-I-Diabeti- kern. Ultraschalldiagnostik der frühen Arteriosklerose	1225	or							
Chelatbildner Antioxidantien	1135	fr							
Chemotherapie Adjuvante Chemotherapie beim operierten Kolon- karzinom	1181	fr							
Adjuvante Chemotherapie nach kurativer Gastrektomie bei Magenkarzinom	1298	km							
Adjuvante Therapie bei kolo- rektalen Karzinomen	1663	adt							
Langzeitbeobachtung bei lymphoplasmazytoiden Immunozytomen	1487	lz							
Chinin Hohe Letalität von Tetanus- infektionen nach intra- muskulärer Injektion von Chinin	1681	km							
Chirurgie; minimal-invasive Derzeitiger Stellenwert der Laparoskopie in der onko- logischen Chirurgie	1518	kom							
Möglichkeiten der laparoskopischen Therapie innerer Hernien. Darstellung an drei Fällen	1199	kas							
Chirurgie; onkologische Derzeitiger Stellenwert der Laparoskopie in der onko- logischen Chirurgie	1518	kom							
Chlamydien Enteropathogenität von Chla- mydrien	1637	fr							
Isolierung von Chlamydia pneumoniae bei atypischer Pneumonie	1462	kas							
Cholangiokarzinom Diffus wachsendes Cholangio- karzinom	1282	mq							
Cholangiopathie; HIV-asso- ziierte HIV-assoziierte Cholangio- pathie	1004	adt							
Choledocholithiasis (siehe Cholelithiasis)									
Cholelithiasis Kostenvergleich zwischen der laparoskopischen Cholezystektomie und der extrakorporalen Stoßwellen- lithotripsie in der Behandlung von Gallen- blasensteinen	1532	or							
Cholesterin Cholesterin und koronare Herzkrankheit	1059	km							
Cholesterin-Normalwerte im Kindesalter	1371	fr							
Einfluß spontan niedriger und diätetisch-medikamen- tös gesenkter Cholesterin- spiegel auf nicht-kardiovas- kuläre Todesursachen	1597	kom							
Fettarme Diät und körper- liches Training bei korona- rer Herzkrankheit	1017	lz							
Cholesterinsteine (siehe Cholelithiasis)									
Cholezystektomie; laparo- skopische Clip-Wanderung in den Ductus choledochus nach laparoskopischer Chole- zystektomie	1506	mq							
Kostenvergleich zwischen der laparoskopischen Cholezystektomie und der extrakorporalen Stoßwellen- lithotripsie in der Behandlung von Gallen- blasensteinen	1532	or							
Laparoskopische Cholezyst- ektomie nach Lebervor- operation	1184	lz							
Cholezystolithiasis (siehe Cholelithiasis)									
Cholinesterase; im Serum Serum-Cholinesterase	1016	fr							
Choriongonadotropin; humanes Indikation zur Amniozentese bei über 35jährigen Schwangeren aufgrund von Serummarkern	1413	km							
Chromophore (siehe Therapie; photodyna- mische)									
Chromosomenaberrationen Diagnose eines Ullrich- Turner-Syndroms im Rentengutachten	1115	kas							
Indikation zur Amniozentese bei über 35jährigen Schwangeren aufgrund von Serummarkern	1413	km							
Prader-Labhart-Willi- Syndrom	974	fr							
Chromosomentransloka- tionen Komplette Remission bei aku- ter Promyelozytenleuk- ämie. Vorteile von <i>all- trans</i> -Retinsäure im Ver- gleich mit konventioneller Chemotherapie	1143	or							
Chronic Fatigue Syndrome (siehe Müdigkeitssyndrom; chronisches)									
Churg-Strauss-Syndrom Churg-Strauss-Syndrom oder chronische eosinophile Pneumonie?	1565	lz							
Ciclosporin Kopfschmerzen unter Ciculo- sporin-Therapie	1135	fr							
Rolle von Endothelin bei den Ciclosporin-Nebenwirkun- gen Nephrotoxizität und arterielle Hypertonie	1706	üb							
Ciguatera Ciguatera. Neue Fälle von Fischvergiftung bei deut- schen Karibik-Urlaubern	975	lz							
Cimino-Shunt Generalisiertes IgG-Lambda- Plasmozytom und Stenose eines Cimino-Shunts durch plasmazelluläre Infiltration	1694	kas							
Cisaprid Therapie der gastroösopha- gealen Refluxkrankheit	1473	adt							
Clearance; ösophageale Diagnostik der gastroösopha- gealen Refluxkrankheit	1433	adt							
Clostridium tetani Hohe Letalität von Tetanus- infektionen nach intramus- kulärer Injektion von Chi- nin	1681	km							
Clozapin Therapie einer Clozapin-indu- zierten Agranulozytose mit granulozytenkolonie-stimu- lierendem Faktor	1467	kas							
Coarctatio aortae Postduktale Aortenisthmus- stenose (Coarctatio aortae)	1548	mq							
Coeruloplasmin Hämolytische Krise mit Leberversagen als Erstma- nifestation eines Morbus Wilson	1421	kas							
Colitis granulomatosa (siehe Morbus Crohn)									

Rubrikenschlüssel

adt = Aktuelle Diagnostik
und Therapie
ar = Arztrecht
as = Der Arzneistoff
epi = Epikrise

fr = Fragen aus der Praxis
gt = Gedenktage
kas = Kasuistiken
km = Kleine Mitteilungen
kom = Kommentare

la = Leitartikel
lz = Leser-Zuschriften
mg = Medizingeschichte
mq = Mediquiz
nk = Nekrologe

or = Originalien
pp = Prinzip & Perspektive
stp = Standpunkte
üb = Übersichten

Colitis ulcerosa									
Endoskopische Diagnostik zur Prävention und Früherkennung des kolorektalen Karzinoms	1001	act							
Nicotinplaster bei Colitis ulcerosa	1261	km							
Corpus alienum (siehe Fremdkörper)									
Corpus callosum Agenesie des Corpus callosum (Balkenmangel)	1738	m q							
CPAP (siehe Überdruckbeatmung; kontinuierliche nasale)									
Cromoglicinsäure Asthma bronchiale	974	fr							
CSF (siehe Faktoren; kolonie-stimulierende)									
Cutter-Impfstoff Indikationen zur Pestimpfung und -chemoprophylaxe	1714	fr							
D									
Darier-Zeichen Schock und Gerinnungsstörungen bei systemischer Mastozytose	1231	kas							
Darmperforation Maligne atrophische Papulose	1427	kas							
Zeitintervall zwischen Koloskopie mit Biopsie und Kolonkontrasteinlauf	1333	fr							
Dauerkatheter; intravasale Infektionsprophylaxe bei Dauerverweilkatheten	1017	fr							
Dauertherapie Regelmäßige Asthma-Therapie mit β -Sympathikomimetika	1020	km							
Defibrillation (siehe Kardioversion; elektrische)									
Degeneration; hepatolentikuläre (siehe Morbus Wilson)									
Delta-Hepatitis Aktueller Stand der Behandlung chronischer Virushepatitiden mit rekombinantem Interferon alpha	961	adt							
Denver-Shunt Therapie des Aszites bei Lebererkrankungen	1549	adt							
Depressionen Erfassung von Angst und Depressivität in der medizinischen Routineversorgung	1283	adt							
Dermatitis; atopische (siehe Ekzem; endogenes)									
Desinfektion Hautdesinfektion vor der Blutentnahme	1182	fr							
Desmosomen Harnstoff in der Dermatologie	1126	üb							
Detubularisation Aktuelle Möglichkeiten des kontinenten Harnblasenersatzes	1327	üb							
Diabetes mellitus Ambulante Versorgung von Diabetikern	1056	lz							
Angiotensin-Converting-Enzym-Hemmer bei der Behandlung der diabetischen Nephropathie	1298	km							
Insulinpflichtiger Diabetes mellitus nach 58 Jahren	1450	lz							
Diabetes mellitus; Typ I Carotiswandveränderungen bei jungen Typ-I-Diabetikern. Ultraschalldiagnostik der frühen Arteriosklerose	1225	or							
Intensivierte Behandlung des Diabetes mellitus Typ I und Entwicklung von Spätkomplikationen	976	km							
Kombinierte Nieren- und Pankreastransplantation beim diabetischen Spätsyndrom	1399	adt							
Diagnostik; pränatale Diagnostik und Therapie der konnatalen Toxoplasmose	1335	lz							
Diathese; hämorrhagische Komplette Remission bei akuter Promyelozytenleukämie. Vorteile von <i>all-trans</i> -Retinsäure im Vergleich mit konventioneller Chemotherapie	1143	or							
Neonatale Alloimmunthrombozytopenie	1512	üb							
Diät Diättherapie des Morbus Crohn	1140	km							
Fettarme Diät und körperliches Training bei koronarer Herzkrankheit	1017	lz							
DiGeorge-Anomalie Calcitriol-Gabe in der Schwangerschaft bei partieller DiGeorge-Anomalie	1776	kas							
Digitalisüberdosierung Reversible Thrombozytopenie bei Digitoxinüberdosierung	1734	kas							
Diphtherie Diphtherie-Auffrischimpfung bei Erwachsenen	1219	fr							
Diskordanz; atrioventrikuläre Kongenital korrigierte Transposition der großen Arterien im Erwachsenenalter. Wert nicht-invasiver Untersuchungsmethoden	1156	kas							
Diskordanz; ventrikuloarterielle Kongenital korrigierte Transposition der großen Arterien im Erwachsenenalter. Wert nicht-invasiver Untersuchungsmethoden	1156	kas							
Dissektion; der Gefäß-intima Paradoxe zerebrale Embolie oder Dissektion der Arteria carotis interna?	1183	lz							
DNA-Amplifikation Klinische Bedeutung der Polymerase-Kettenreaktion in der Infektiologie	1625	adt							
DNS-Addukte Sekundäre Neoplasien nach Immunsuppression	1747	üb							
Dokumentation; medizinische ICD-Verschlüsselung und Pflege-Personalregelung	1412	lz							
Doppelmembranfiltration (siehe LDL-Apherese)									
Dopplerechokardiographie Dopplerechokardiographie bei chronischer rechtsventrikulärer Druckbelastung	1061	or							
Doppler-Index Retrograde Katheter-Rekanalisation langstreckiger Verschlüsse der Arteria femoralis superficialis	948	or							
Dopplersonographie Dopplersonographie peripherer Arterien bei tiefer Inspiration zur Überprüfung der sympathischen Gefäßinnervation	1567	km							
Dopplersonographie; farb-kodierte Farbdopplersonographisch gesteuerte perkutane Alkoholinstillation zur Therapie der funktionellen Schilddrüsenautonomie	1607	or							
Dosisäquivalenz Problematik des Äquivalenzbegriffes bei der Therapie mit Glucocorticoiden. Ein Vergleich der klinischen Pharmakokinetik und Pharmakodynamik von Prednisolon und Methylprednisolon	1671	üb							
Down-Syndrom (siehe Trisomie 21)									
Drogenabusus Zerebrale Anfälle unter Doxepin während einer Substitution mit Dihydrocodein	1260	lz							
Droopy-shoulder-Syndrom Neurologische Symptomatik, Diagnostik und Therapie des sogenannten »thoracic-outlet-syndrome«	1087	üb							
Dual-Energy-X-Ray Absorptiometrie Diagnostik des Osteoporoserisikos. Neue Entwicklungen und »State of the Art« 1994	1289	üb							

Einfluß einer niedrigdosierten Hydrochlorothiazidtherapie auf den Knochenmineralgehalt des axialen und peripheren Skeletts	1645	or	Echokardiographie; transösophageale Akute Aortendissektion. Diagnose durch transthorakale Echokardiographie	1297	lz	Spontaner Echokontrast im linken Ventrikel als Indikator für ein erhöhtes Thromboembolie-Risiko	1317	kas
Dual-Photonenabsorptiometrie			Akute Mitralinsuffizienz bei Osteogenesis imperfecta	1101	lz	Zerebraler ischämischer Insult. Wertigkeit der transösophagealen Echokardiographie in der Diagnostik kardialer Emboliequellen	1585	adt
Diagnostik des Osteoporosierisikos. Neue Entwicklungen und »State of the Art« 1994	1289	üb	Echokardiographie bei Endokarditis	1006	üb	Embolie; paradoxe Paradoxe zerebrale Embolie oder Dissektion der Arteria carotis interna?	1183	lz
Duodenaldivertikel; juxta-papilläres			Klinische Bedeutung und echokardiographischer Nachweis von Aneurysmen des Vorhofseptums	1205	adt	Embolie; pulmonale (siehe Lungenembolie)		
Juxta papilläres Duodenaldivertikel	1661	mq	Kongenital korrigierte Transposition der großen Arterien im Erwachsenenalter. Wert nicht-invasiver Untersuchungsmethoden	1156	kas	Embryologie Kallmann-Syndrom. Pathophysiologie und Klinik	1436	üb
Duodenopankreatektomie			Zerebraler ischämischer Insult. Wertigkeit der transösophagealen Echokardiographie in der Diagnostik kardialer Emboliequellen	1585	adt	Embryopathien Windpocken in der ersten Schwangerschaftshälfte	1527	km
Pylorus erhalten - »a never ending story«	1372	lz	Echokontrast; spontaner intrakardialer Spontaner Echokontrast im linken Ventrikel als Indikator für ein erhöhtes Thromboembolie-Risiko	1317	kas	Empfängnisverhütung Hodenkrebsrisiko nach Vasektomie	1757	km
Durchblutungsstörungen; arterielle			Eczema craquelé Eczema craquelé	1203	mq	Enantiomere Sotalol	1477	as
Akute Ischämie eines Armes als ungewöhnlicher Ausdruck eines Ergotismus	1501	kas	Einschlußverbindungen Harnstoff in der Dermatologie	1126	üb	Endokarditis Echokardiographie bei Endokarditis	1006	üb
Maligne atrophische Papulose	1427	kas	Eisenstoffwechsel Eisenmangelanämie	1403	pp	Endotheldysfunktion Angina pectoris und normales Koronarangiogramm bei arterieller Hypertonie und linksventrikulärer Hypertrophie	1175	üb
Takayasu-Arteriitis	1801	fr	Grundlagen des Eisenstoffwechsels	1287	pp	Gesteigerte vasculäre Sensitivität auf Nitroglycerin bei Patienten mit Hypercholesterinämie und peripherer Endotheldysfunktion	1065	or
Dysfunktionen; postischämische myokardiale			Hiatushernie	1398	mq	Endothelfärbungen Tumorgefäßinvasion beim Mammakarzinom. Hämatoxilin-Eosin- versus immunhistochemische Färbung gegen Faktor-VIII-Antigen	1491	or
Pathophysiologie der Myokarddurchblutung. Teil II: Postischämische kontraktile Dysfunktion (»stunned«-Myokard)	1745	pp	Ekzem; endogenes Behandlung der Neurodermitis mit Liposomen?	1219	fr	Endothelin Rolle von Endothelin bei den Ciclosporin-Nebenwirkungen Nephrotoxizität und arterielle Hypertonie	1706	üb
Dyspnoe			Harnstoff in der Dermatologie	1126	üb	Endothelinrezeptor-Antagonisten Rolle von Endothelin bei den Ciclosporin-Nebenwirkungen Nephrotoxizität und arterielle Hypertonie	1706	üb
»Bronchiolitis obliterans organizing pneumonia« mit akuter respiratorischer Insuffizienz	1312	kas	Ist die Neurodermitis eine Krankheit der höheren sozialen Schichten?	1757	km			
Dysraphiesyndrome			Elektrolythaushalt Therapie des Aszites bei Lebererkrankungen	1549	adt			
Syringomyelie als seltene Ursache einer beatmungspflichtigen respiratorischen Insuffizienz	1771	kas	Elektrostimulation; kardiale transösophageale Therapie bradykarder und tachykarder Rhythmusstörungen durch transösophageale Elektrostimulation des Herzens	1405	üb			
Dysregulationen; neuro-endokrinologische			Eliminationsdiät Diättherapie des Morbus Crohn	1140	km			
Fibromyalgie-Syndrom	1639	lz	Embolie; kardiogene Klinische Bedeutung und echokardiographischer Nachweis von Aneurysmen des Vorhofseptums	1205	adt			

E

Ebstein-Anomalie

Ebstein-Anomalie 1782 mq

Echokardiographie

Echokardiographie bei Endokarditis 1006 üb

Spontaner Echokontrast im linken Ventrikel als Indikator für ein erhöhtes Thromboembolie-Risiko 1317 kas

Rubrikenschlüssel

adt = Aktuelle Diagnostik und Therapie

ar = Arztrecht

as = Der Arzneistoff

epi = Epikrise

fr = Fragen aus der Praxis

gt = Gedenktage

kas = Kasuistiken

km = Kleine Mitteilungen

kom = Kommentare

la = Leitartikel

lz = Leser-Zuschriften

mg = Medizingeschichte

mq = Mediquiz

nk = Nekrologe

or = Originalien

pp = Prinzip & Perspektive

stp = Standpunkte

üb = Übersichten

Endothelium-Derived-Relaxing-Factor

Gesteigerte vaskuläre Sensitivität auf Nitroglycerin bei Patienten mit Hypercholesterinämie und peripherer Endotheldysfunktion 1065 or

Enteritis regionalis

(siehe Morbus Crohn)

Enteropathogenität

Enteropathogenität von Chlamydien 1637 fr

Environtologie

Fibromyalgie-Syndrom 1639 lz

Gerbstoffe und Krebsrisiko 1411 fr

Risiken der Sonnenexposition 1047 üb

Enzephalitis

Polyneuritis und Myositis bei Trypanosoma-gambiense-Infektion 1690 kas

Enzephalopathie

Enzephalopathie nach Intoxikation mit einem Anticholinergikum 1803 lz

Therapie des Aszites bei Lebererkrankungen 1549 adt

Eosinophilie

Churg-Strauss-Syndrom oder chronische eosinophile Pneumonie? 1565 lz

Einseitige diffuse Lungenbeteiligung bei Vaskulitis mit Anti-Neutrophilen-Zytoplasma-Antikörpern sowie Antikörpern gegen glomeruläre Basalmembranen 1071 kas

Gnathostomiasis nach Aufenthalt in Thailand 1618 kas

Epidemiologie

Aktuelle Epidemiologie, Diagnostik und Therapie der Urogenitaltuberkulose 1121 adt

Epidemiologie und Klinik der chronischen Virushepatitis 1365 üb

Hepatitis-A-Impfung 1800 fr

HIV-Übertragung bei heterosexuellen Partnern 1805 km

Ist die Neurodermitis eine Krankheit der höheren sozialen Schichten? 1757 km

Operation bei Verdacht auf Appendizitis und Perforation 1059 km

Schistosomiasis und Siegelringzellkarzinom der Ileo-zökalklappe 1058 lz

Tuberkuloseerkrankungen 1993 1185 km

Übertragungsmodus von Helicobacter pylori 1719 km

Epiphänomene; bei Krankheiten

Gamma-Schwerketten-Produktion als Epiphänomen bei Non-Hodgkin-Lymphom 1235 kas

Epithelkörperchenadenom

Neuropsychiatrische Symptomatik bei primärem Hyperparathyreoidismus 1076 kas

Eradikation

Ist die Ulcuskrankheit eine Infektionskrankheit? 1488 km

Ergotaminderivate

Bromocriptin-induzierte Pleuropneumopathie 1543 kas

Ergotismus

Akute Ischämie eines Armes als ungewöhnlicher Ausdruck eines Ergotismus 1501 kas

Ernährung

Ciguatera. Neue Fälle von Fischvergiftung bei deutschen Karibik-Urlaubern 975 lz

Diättherapie des Morbus Crohn 1140 km

Gerbstoffe und Krebsrisiko 1411 fr

Erregerwandel

Nehmen Infektionen durch hämolysierende Streptokokken der Gruppe A zu? 1336 lz

Erythromelalgie

Erythromelalgie (Erythromelalgie) 1039 mq

Erythrozytensubstitution

Rationale Substitution mit Blut- und Blutbestandteilkonserven 1555 üb

Estriol; unkonjugiertes

Indikation zur Amniozentese bei über 35jährigen Schwangeren aufgrund von Serummarkern 1413 km

ESWL

(siehe Stoßwellenlithotripsie; Extrakorporale)

Exulceratio simplex

Exulceratio simplex Dieulafoy 1699 mq

F**Facialisparese; periphere**

Intensivtherapie des Guillain-Barré-Syndroms 1248 üb

Faktoren; koloniestimulierende

Schwere Panzytopenie im hohen Lebensalter nach zwölfmonatiger ACE-Hemmer-Therapie 1029 kas

Faktor-VIII-Färbung

Tumorgefäßinvasion beim Mammakarzinom. Hämatoxilin-Eosin- versus immunhistochemische Färbung gegen Faktor-VIII-Antigen 1491 or

Feinnadelpunktion; computertomographisch gesteuerte

Differentialdiagnose von Rundherden nach Lungentransplantation 1105 or

Fernmetastasen

Tumorverkleinerung im Stadium M1? 1564 fr

Fertilitätsstörungen

Kallmann-Syndrom. Pathophysiologie und Klinik 1436 üb

Prader-Labhart-Willi-Syndrom 974 fr

Fettstoffwechselstörungen

Fischaugenkrankheit 1393 kas

Fibrinolyse

Thrombolyse bei akutem Herzinfarkt 1220 lz

Fibromyalgie-Syndrom

Fibromyalgie-Syndrom 1639 lz

Fieber

»Bronchiolitis obliterans organizing pneumonia« mit akuter respiratorischer Insuffizienz 1312 kas

Fischaugenkrankheit

Fischaugenkrankheit 1393 kas

Fischvergiftung

Ciguatera. Neue Fälle von Fischvergiftung bei deutschen Karibik-Urlaubern 975 lz

Fistel; enterovesikale

Luft in der Blase durch Fistelverbindung zum Darm 1472 mq

Fistel; hepatobronchiale

Amöbenabszeß der Leber mit hepatobronchialer Fistel 1034 kas

Fistel; ösophago-mediastinale

Ösophago-mediastinale Fisteln als seltene Komplikation der Tuberkulose bei einem HIV-infizierten Patienten 1613 kas

Flapping Tremor

Medikamentös ausgelöste Asterixis 1221 lz

Fluoridprophylaxe

Akute Vergiftung durch fluoridiertes Trinkwasser 1185 km

Fluorouracil

Adjuvante Chemotherapie beim operierten Kolonkarzinom 1181 fr

Adjuvante Therapie bei kolorektalen Karzinomen 1663 adt

Flußreserve; koronare

Angina pectoris und normales Koronarangiogramm bei arterieller Hypertonie und linksventrikulärer Hypertrophie 1175 üb

Folinsäure

Adjuvante Chemotherapie beim operierten Kolonkarzinom 1181 fr

Adjuvante Therapie bei kolorektalen Karzinomen 1663 adt

Foramen ovale; offenes

Klinische Bedeutung und echokardiographischer Nachweis von Aneurysmen des Vorhofseptums 1205 adt

Paradoxe zerebrale Embolie oder Dissektion der Arteria carotis interna?	1183	lz	Gammopathie; monoklonale			Gesundheitsfürsorge			
Forsa ovalis			Generalisiertes IgG-Lambda-Plasmozytom und Stenose eines Cimino-Shunts durch plasmazelluläre Infiltration	1694	kas	Placebo-kontrollierte Untersuchung zur Wirksamkeit der Influenza-Schutzimpfung?	1057	lz	
Klinische Bedeutung und echokardiographischer Nachweis von Aneurysmen des Vorhofseptums	1205	adt	Ganglien			Gesundheitsstrukturgesetz			
Frakturen; osteoporotische			Baker-Zyste	1040	mq	ICD-Verschlüsselung und Pflege-Personalregelung	1412	lz	
Einfluß einer niedrigdosierten Hydrochlorothiazidtherapie auf den Knochenmineralgehalt des axialen und peripheren Skeletts	1645	or	Hermann von Helmholtz (1821-1894) – Militärarzt, Sinnesphysiologe und »Reichskanzler der deutschen Physik«. Zum 100. Todestag des universalen Arztes und Naturforschers	1215	mg	Gewebe-Plasminogenaktivator			
Vitamin D und Osteoporose. Pathogenese – Therapie	1479	üb	Gastrektomie			(siehe Fibrinolyse)			
Fremdkörperingestion			Adjuvante Chemotherapie nach kurativer Gastrektomie bei Magenkarzinom	1298	km	Gilman, Alfred G.			
Präsakrale Phlegmone und Meningitis als Komplikationen eines Fremdkörpers im Rektosigmoid	990	kas	Gastritis			Nobelpreis für Medizin 1994	1792	kom	
Frischblut			Modifizierter ¹³ C-Atemtest in der Diagnostik der Helicobacter-pylori-Besiedlung der gastralen Mucosa	1569	or	Glioblastom			
Rationale Substitution mit Blut- und Blutbestandteilkonserven	1555	üb	Gastroplexie			Glioblastom	1000	mq	
Frischplasma; gefrorenes			Behandlung eines intermittierenden Magenvolvulus durch Gastroplexie mittels perkutaner endoskopischer Gastrostomie	1658	kas	Gliose			
Rationale Substitution mit Blut- und Blutbestandteilkonserven	1555	üb	Gefäßtonus; Regulation			Syringomyelie als seltene Ursache einer beatmungspflichtigen respiratorischen Insuffizienz	1771	kas	
Früherkennung; von Malignomen			Gesteigerte vaskuläre Sensitivität auf Nitroglycerin bei Patienten mit Hypercholesterinämie und peripherer Endotheldysfunktion	1065	or	Glomerulonephritis			
Tiefe Venenthrombose und okkulte, maligne Neoplasien	1719	km	Gelenkluxationen			Einseitige diffuse Lungenbeteiligung bei Vaskulitis mit Anti-Neutrophilen-Zytoplasma-Antikörpern sowie Antikörpern gegen glomeruläre Basalmembranen	1071	kas	
Frühgeburtlichkeit			Larson-Syndrom	1584	mq	Gnathostomiasis			
Psychische Belastung in der Schwangerschaft und Frühgeburt	1141	km	Gentechnologie			Gnathostomiasis nach Aufenthalt in Thailand	1618	kas	
Fundusvarizen			Klinische Bedeutung der Polymerase-Kettenreaktion in der Infektiologie	1625	adt	Gonadendysgenese			
Fundusvarizen	959	mq	Gerinnung			Diagnose eines Ullrich-Turner-Syndroms im Rentengutachten	1115	kas	
G									
Gallenblasenmotilitätsstörungen			Ist die »International Normalized Ratio (INR)« in der klinischen Praxis unentbehrlich?	1529	la	Gonadorelin			
Gallenblasen-Sludge und Einnahme von Lipidsenkern	1524	fr	Gerinnungsfaktoren			Kallmann-Syndrom. Pathophysiologie und Klinik	1436	üb	
Gambierdiscus toxicus			Rationale Substitution mit Blut- und Blutbestandteilkonserven	1555	üb	Goodpasture-Syndrom			
Ciguatera. Neue Fälle von Fischvergiftung bei deutschen Karibik-Urlaubern	975	lz	Gerinnungsstörungen			Einseitige diffuse Lungenbeteiligung bei Vaskulitis mit Anti-Neutrophilen-Zytoplasma-Antikörpern sowie Antikörpern gegen glomeruläre Basalmembranen	1071	kas	
Gamma-Glutamyltransferase			Resistenz gegenüber aktiviertem Protein C	1680	km	G-Proteine			
Die erhöhte Gamma-GT (Gamma-Glutamyltransferase). Ursachen und Interpretationen	1041	adt	Schock und Gerinnungsstörungen bei systemischer Mastozytose	1231	kas	Nobelpreis für Medizin 1994	1792	kom	
			Geschäftsfähigkeit			Granulocyte-Colony-Stimulating-Factor			
			Geschäftsfähigkeit bei hohem Blutalkoholspiegel	1602	fr	Schwere Panzytopenie im hohen Lebensalter nach zwölfmonatiger ACE-Hemmer-Therapie	1029	kas	
						Therapie einer Clozapin-induzierten Agranulozytose mit granulozytenkolonie-stimulierendem Faktor	1467	kas	

Rubrikschlüssel

adt = Aktuelle Diagnostik und Therapie
 ar = Arztrecht
 as = Der Arzneistoff
 epi = Epikrise

fr = Fragen aus der Praxis
 gt = Gedenktage
 kas = Kasuistiken
 km = Kleine Mitteilungen
 kom = Kommentare

la = Leitartikel
 lz = Leser-Zuschriften
 mg = Medizingeschichte
 mq = Mediquiz
 nk = Nekrologe

or = Originalien
 pp = Prinzip & Perspektive
 stp = Standpunkte
 üb = Übersichten

- Granulocyte-Macrophage-Colony-Stimulating-Factor**
Therapie einer Clozapin-induzierten Agranulozytose mit granulozytenkolonie-stimulierendem Faktor 1467 kas
- Granulome; eosinophile**
Churg-Strauss-Syndrom oder chronische eosinophile Pneumonie? 1565 lz
- Gravidität**
(siehe Schwangerschaft)
- Grenzstrangdurchtrennung**
Endoskopische transthorakale Sympathektomie bei paraneoplastischem Raynaud-Syndrom 1162 kas
- GSG**
(siehe Gesundheitsstrukturgesetz)
- Guillain-Barré-Syndrom**
Immunglobuline zur Therapie des Guillain-Barré-Syndroms im Kindesalter 1449 lz
- Intensivtherapie des Guillain-Barré-Syndroms 1248 üb
- H**
- HAD-Skala**
Erfassung von Angst und Depressivität in der medizinischen Routineversorgung 1283 adt
- Haffkin-Impfstoff**
Indikationen zur Pestimpfung und -chemoprophylaxe 1714 fr
- Halsrippe**
Neurologische Symptomatik, Diagnostik und Therapie des sogenannten »thoracic-outlet-syndromes« 1087 üb
- Handtumoren**
Differentialdiagnose knotiger Tumoren an der Hand 1101 lz
- Harnblasenersatz**
Aktuelle Möglichkeiten des kontinenten Harnblasenersatzes 1327 üb
- Harnproduktion**
Glomeruläre Hyperperfusion und Niereninsuffizienz 1136 fr
- Harnsäure**
Allopurinol 1045 as
- Harnstoff**
Harnstoff in der Dermatologie 1126 üb
Modifizierter ¹³C-Atemtest in der Diagnostik der Helicobacter-pylori-Besiedlung der gastralen Mucosa 1569 or
- Harnstoffzyklus**
Harnstoff in der Dermatologie 1126 üb
- Hautdesinfektion**
Hautdesinfektion vor der Blutentnahme 1182 fr
- Hauttumoren**
Differentialdiagnose knotiger Tumoren an der Hand 1101 lz
Risiken der Sonnenexposition 1047 üb
- Hämodialyse**
Akute Hämolyse mit nachfolgender lebensbedrohlicher Pankreatitis bei Hämodialyse. Eine Komplikation, die von den derzeitigen Dialysegeräten nicht verhindert wird 1263 or
Fortschritte der chronischen Dialyse-Behandlung in den neuen Bundesländern 1261 km
Impfungen bei chronischer Niereninsuffizienz und nach Nierentransplantation 1323 adt
- Hämodynamik**
Gesteigerte vaskuläre Sensitivität auf Nitroglycerin bei Patienten mit Hypercholesterinämie und peripherer Endotheldysfunktion 1065 or
- Hämoglobin; glykosyliertes**
Ambulante Versorgung von Diabetikern 1056 lz
- Hämolyse; extravasale**
Akute Hämolyse mit nachfolgender lebensbedrohlicher Pankreatitis bei Hämodialyse. Eine Komplikation, die von den derzeitigen Dialysegeräten nicht verhindert wird 1263 or
- Hämostase**
Resistenz gegenüber aktiviertem Protein C 1680 km
- Hämotherapie**
»Look-back«-Studie der DRK-Blutspendedienste 1643 km
Neonatale Alloimmunthrombozytopenie 1512 üb
Rationale Substitution mit Blut- und Blutbestandteilkonserven 1555 üb
Universal-Spenderblut 1019 lz
- HCG**
(siehe Choriongonadotropin; humanes)
- HDL-Cholesterin**
Fischaugenkrankheit 1393 kas
- Heiserkeit**
Heiserkeit bei Polymyalgia rheumatica 1566 lz
- Helicobacter pylori**
Ist die Ulcuskrankheit eine Infektionskrankheit? 1488 km
Modifizierter ¹³C-Atemtest in der Diagnostik der Helicobacter-pylori-Besiedlung der gastralen Mucosa 1569 or
Übertragungsmodus von Helicobacter pylori 1719 km
- v. Helmholtz; Hermann**
Hermann v. Helmholtz (1821-1894) - Militärarzt, Sinnerphysiologe und »Reichskanzler der deutschen Physik«. Zum 100. Todestag des universalen Arztes und Naturforschers 1215 mg
- Heparin; niedermolekulares**
Einsatz von niedermolekularem Heparin zur Antikoagulation in der Schwangerschaft 1497 kas
- Hepatitis; chronische**
Epidemiologie und Klinik der chronischen Virushepatitis 1365 üb
- Hepatitis B**
Aktueller Stand der Behandlung chronischer Virushepatitiden mit rekombinantem Interferon alpha 961 adt
Akzidentelle Nadelstichverletzung bei medizinischem Pflegepersonal 1563 fr
Epidemiologie und Klinik der chronischen Virushepatitis 1365 üb
Hepatitis-B-assoziierte Vasculitis. Verlauf unter Therapie mit Glucocorticoiden und Alpha-Interferon 1388 kas
- Hepatitis C**
Aktueller Stand der Behandlung chronischer Virushepatitiden mit rekombinantem Interferon alpha 961 adt
Akzidentelle Nadelstichverletzung bei medizinischem Pflegepersonal 1563 fr
Chronische Hepatitis C bei Typ-II-Kryoglobulinämie und kutaner Vasculitis 1239 kas
Epidemiologie und Klinik der chronischen Virushepatitis 1365 üb
- Hepatitis D**
Epidemiologie und Klinik der chronischen Virushepatitis 1365 üb
- Hernien; innere**
Möglichkeiten der laparoskopischen Therapie innerer Hernien. Darstellung an drei Fällen 1199 kas
- Herpes zoster**
Wirksamkeit von Aciclovir und Glucocorticoiden in der Behandlung des Herpes zoster und postzosterischer Neuralgien 1526 km
- Herpes-simplex-Virus-Infektionen**
Chronische Müdigkeit und Herpes-Virus-Antikörper 1296 fr
- Herzinfarkt**
(siehe Myokardinfarkt)
- Herzinsuffizienz**
Beta-Rezeptorenblocker bei dilatativer Kardiomyopathie 1604 km

Herzklappenfehler			Herztod; plötzlicher		Ösophago-mediastinale	1613	kas
Akute Mitralinsuffizienz bei Osteogenesis imperfecta	1101	lz	Akute Myokardischämie, ventrikuläre Tachyarrhythmien und plötzlicher Herztod	1786	Fisteln als seltene Komplikation der Tuberkulose bei einem HIV-infizierten Patienten		
Herzklappenprothesen			Herztransplantation		Sinusitis bei HIV-Infektion	1759	or
Echokardiographie bei Endokarditis	1006	üb	Primär kutane Nocardia-farcinica-Infektion nach Herztransplantation	1276	Sputumuntersuchung zur Diagnostik der Pneumocystis-carinii-Pneumonie bei HIV-Infizierten	1151	or
Herzkrankheit; koronare			Primär kutane Nocardia-farcinica-Infektion nach Herztransplantation (Berichtigung)	1568	Unverträglichkeit der Tuberkulose-therapie bei AIDS	1728	kas
Cholesterin und koronare Herzkrankheit	1059	km	Herzvitien; angeborene		Zidovudin bei asymptomatischen HIV-Patienten?	1374	km
Einfluß spontan niedriger und diätetisch-medikamentös gesenkter Cholesterinspiegel auf nicht-kardiovaskuläre Todesursachen	1597	kom	Ebstein-Anomalie	1782	HLA-Typisierung		
Fettarme Diät und körperliches Training bei koronarer Herzkrankheit	1017	lz	Großer subaortaler Ventrikelseptumdefekt	1583	Aufbau der Deutschen Knochenmarkspenderdatei	1359	adt
Zentralnervöse Vermittlung der Angina pectoris	1604	km	Komplette Transposition der großen Arterien	1662	Hodenkrebs		
Herzrhythmusstörungen			Kongenital korrigierte Transposition der großen Arterien im Erwachsenenalter. Wert nicht-invasiver Untersuchungsmethoden	1156	Hodenkrebsrisiko nach Vasektomie	1757	km
Adenosintriphosphat (ATP) bei supraventrikulären Tachykardien im Neugeborenen- und Säuglingsalter	1351	kas	Herzvitien; erworbene		Hormon; Antidiuretisches; Syndrom der inadäquaten Sekretion		
Akute Myokardischämie, ventrikuläre Tachyarrhythmien und plötzlicher Herztod	1786	üb	Operationsindikation bei asymptomatischer hochgradiger Aortenklappenstenose	1630	Hyponatriämisches Koma	1139	lz
Idiopathisches QT-Syndrom (Romano-Ward-Syndrom)	1204	mq	Heyde-Syndrom		Hornhauttrübung		
Idioventrikulärer Rhythmus	1432	mq	Endoskopische intraoperative Diagnostik einer blutenden Angiodysplasie im Jejunum beim Heyde-Syndrom	1603	Fischaugenkrankheit	1393	kas
Klinische Bedeutung des Ajmalin-Tests in der nicht-invasiven Diagnostik bei Wolff-Parkinson-White-Syndrom	985	or	Hiatushernie		H₂-Rezeptor-Antagonisten		
Magnesium bei Herzinfarkt	1102	km	Hiatushernie	1398	Therapie der gastroösophagealen Refluxkrankheit	1473	adt
Magnesium-Infusion bei akutem Herzinfarkt	1800	fr	Hibernating-Myokard		Humanalbumin		
Morbidität und Letalität bei Schlafapnoe und nächtlichen Bradyarrhythmien	1187	or	Pathophysiologie der Myokarddurchblutung. Teil I: Adaptation an Myokardischämie (»hibernating«-Myokard)	1589	Rationale Substitution mit Blut- und Blutbestandteilkonserven	1555	üb
Schrittmachertherapie beim Syndrom des kranken Sinusknotens. Senken vorhoffeteiligte Schrittmachersysteme die Häufigkeit von Vorhofflimmern und thromboembolischen Komplikationen sowie die Mortalität?	1683	or	Hiob-Syndrom		Hybridisierung		
Therapie bradykarder und tachykarder Rhythmusstörungen durch transösophageale Elektrostimulation des Herzens	1405	üb	(siehe Hyper-IgE-Syndrom)		Klinische Bedeutung der Polymerase-Kettenreaktion in der Infektiologie	1625	adt
Herzschritmacher			Hirnfarkt		Hydrocele testis		
Schrittmachertherapie beim Syndrom des kranken Sinusknotens. Senken vorhoffeteiligte Schrittmachersysteme die Häufigkeit von Vorhofflimmern und thromboembolischen Komplikationen sowie die Mortalität?	1683	or	(siehe Insult; zerebraler)		Eingeklemmte Leistenhernie. Hydrocele testis	1358	mq
			Hirntumoren		Hydrochlorothiazid		
			Glioblastom	1000	Einfluß einer niedrigdosierten Hydrochlorothiazidtherapie auf den Knochenmineralgehalt des axialen und peripheren Skeletts	1645	or
			HIV-Antikörper-Test		25-Hydroxy-Vitamin-D₃		
			»Look-back«-Studie der DRK-Blutspendedienste	1643	Vitamin D und Osteoporose. Pathogenese - Therapie	1479	üb
			HIV-Infektion		Hymenopterengift		
			Akzidentelle Nadelstichverletzung bei medizinischem Pflegepersonal	1563	Besteht bei einer Insektengift-Allergie immer die Indikation für eine Hyposensibilisierung?	1093	la
			HIV-assoziierte Cholangiopathie	1004	Hypakusis		
			HIV-Übertragung bei heterosexuellen Partnern	1805	Diagnose eines Ullrich-Turner-Syndroms im Renten-gutachten	1115	kas
			»Look-back«-Studie der DRK-Blutspendedienste	1643			

Rubrikenschlüssel

adt = Aktuelle Diagnostik und Therapie
 ar = Arztrecht
 as = Der Arzneistoff
 epi = Epikrise

fr = Fragen aus der Praxis
 gt = Gedenktage
 kas = Kasuistiken
 km = Kleine Mitteilungen
 kom = Kommentare

la = Leitartikel
 lz = Leser-Zuschriften
 mg = Medizingeschichte
 mq = Mediquiz
 nk = Nekrologe

or = Originalien
 pp = Prinzip & Perspektive
 stp = Standpunkte
 üb = Übersichten

Hypercalcämie

Asymptomatischer primärer Hyperparathyreoidismus. Behandeln oder beobachten? 967 üb

Neuropsychiatrische Symptomatik bei primärem Hyperparathyreoidismus 1076 kas

Hypercholesterinämie

Gallenblasen-Sludge und Einnahme von Lipidsenkern 1524 fr

Gesteigerte vaskuläre Sensitivität auf Nitroglycerin bei Patienten mit Hypercholesterinämie und peripherer Endotheldysfunktion 1065 or
Hypercholesterinämie 1099 fr**Hyperfiltration; glomeruläre**

Glomeruläre Hyperperfusion und Niereninsuffizienz 1136 fr

Hyper-IgE-Syndrom

Hyper-IgE-Syndrom (Synonyma: Hiob-Syndrom, Buckley-Syndrom, »Job's syndrome«) 1121 mq

Hyperkapnie

Ventilatorische Insuffizienz und hyperkapnische Kompensation infolge chronisch belasteter »Atempumpe«. Physiologie, Pathophysiologie und Therapie 1209 üb

Hyperkeratosen

Harnstoff in der Dermatologie 1126 üb

HyperleukozytosesyndromKomplette Remission bei akuter Promyelozytenleukämie. Vorteile von *all-trans*-Retinsäure im Vergleich mit konventioneller Chemotherapie 1143 or**Hyperlipidämie**

Cholesterin und koronare Herzkrankheit 1059 km

Fettarme Diät und körperliches Training bei koronarer Herzkrankheit 1017 lz

Gallenblasen-Sludge und Einnahme von Lipidsenkern 1524 fr

Hypermagnesiämie

Magnesium 1669 as

Hyperparathyreoidismus; primärer

Asymptomatischer primärer Hyperparathyreoidismus. Behandeln oder beobachten? 967 üb

Neuropsychiatrische Symptomatik bei primärem Hyperparathyreoidismus 1076 kas

Hyperperfusion; glomeruläre

Glomeruläre Hyperperfusion und Niereninsuffizienz 1136 fr

Hyperphagie

Prader-Labhart-Willi-Syndrom 974 fr

Hyperphosphatämie

Calcitriol-Gabe in der Schwangerschaft bei partieller DiGeorge-Anomalie 1776 kas

Hyperpigmentierung

Interdisziplinäre Aspekte der Notalgia paraesthetica 1307 kas

Hyperthyreose

Farbdopplersonographisch gesteuerte perkutane Alkoholinstillation zur Therapie der funktionellen Schilddrüsenautonomie 1607 or

Jodinduzierte Hyperthyreose bei metastasiertem Schilddrüsenkarzinom 1573 kas

Jodprophylaxe in der Schwangerschaft 1339 la

Latente Hyperthyreose 1334 fr

Neonatale Hyperthyreose bei nicht diagnostiziertem Morbus Basedow der Mutter. Probleme der Diagnostik und Therapie anhand einer Kasuistik 1346 kas

Angina pectoris und normales Koronarangiogramm bei arterieller Hypertonie und linksventrikulärer Hypertrophie 1175 üb

Angiotensin-Converting-Enzym-Hemmer bei der Behandlung der diabetischen Nephropathie 1298 km

Asymptomatischer primärer Hyperparathyreoidismus. Behandeln oder beobachten? 967 üb

Renin-Angiotensin-System und Blutdruckregulation 965 pp

Rolle von Endothelin bei den Cyclosporin-Nebenwirkungen Nephrotoxizität und arterielle Hypertonie 1706 üb

Symptomatik und endokrinologische Befunde bei catecholamin-sezernierenden Tumoren. Ergebnisse bei 106 konsekutiven Patienten 1721 or

Endoskopische Therapie der Ösophagusvarizenblutung 1443 kom

Lebervenenverschlussdruckmessung 1245 adt

Dopplerechokardiographie bei chronischer rechtsventrikulärer Druckbelastung 1061 or

Angina pectoris und normales Koronarangiogramm bei arterieller Hypertonie und linksventrikulärer Hypertrophie 1175 üb

Endoskopische Ballondilatation symptomatischer Strikturen bei Morbus Crohn 1377 or

Möglichkeiten der laparoskopischen Therapie innerer Hernien. Darstellung an drei Fällen 1199 kas

Hypocalcämische Kardiomyopathie als Ursache einer schweren Linksherzinsuffizienz 1270 kas

Hypocalcämische Kardiomyopathie als Ursache einer schweren Linksherzinsuffizienz (Berichtigung) 1414

Hypocholesterinämie 1677 fr

Kallmann-Syndrom. Pathophysiologie und Klinik 1436 üb

Chronische Hepatitis C bei Typ-II-Kryoglobulinämie und kutaner Vaskulitis 1239 kas

Hypotonatriämisches Koma 1139 lz

Calcitriol-Gabe in der Schwangerschaft bei partieller DiGeorge-Anomalie 1776 kas

Besteht bei einer Insektengift-Allergie immer die Indikation für eine Hyposensibilisierung? 1093 la

Kallmann-Syndrom. Pathophysiologie und Klinik 1436 üb

Hypocholesterinämie 1677 fr

Ventilatorische Insuffizienz und hyperkapnische Kompensation infolge chronisch belasteter »Atempumpe«. Physiologie, Pathophysiologie und Therapie 1209 üb

ICD-Verschlüsselung und Pflege-Personalregelung 1412 lz

(siehe Immunglobulin E)

Aktuelle Möglichkeiten des kontinenten Harnblasenersatzes 1327 üb

Hypocalcämie

Calcitriol-Gabe in der Schwangerschaft bei partieller DiGeorge-Anomalie 1776 kas

Hypocalcämische Kardiomyopathie als Ursache einer schweren Linksherzinsuffizienz 1270 kas

Hypocalcämische Kardiomyopathie als Ursache einer schweren Linksherzinsuffizienz (Berichtigung) 1414

Hypocholesterinämie 1677 fr

Hypogonadismus; hypogonadotroper

Kallmann-Syndrom. Pathophysiologie und Klinik 1436 üb

Chronische Hepatitis C bei Typ-II-Kryoglobulinämie und kutaner Vaskulitis 1239 kas

Hypotonatriämisches Koma 1139 lz

Calcitriol-Gabe in der Schwangerschaft bei partieller DiGeorge-Anomalie 1776 kas

Besteht bei einer Insektengift-Allergie immer die Indikation für eine Hyposensibilisierung? 1093 la

Kallmann-Syndrom. Pathophysiologie und Klinik 1436 üb

Hypocholesterinämie 1677 fr

Ventilatorische Insuffizienz und hyperkapnische Kompensation infolge chronisch belasteter »Atempumpe«. Physiologie, Pathophysiologie und Therapie 1209 üb

ICD-Verschlüsselung und Pflege-Personalregelung 1412 lz

(siehe Immunglobulin E)

Aktuelle Möglichkeiten des kontinenten Harnblasenersatzes 1327 üb

Möglichkeiten der laparoskopischen Therapie innerer Hernien. Darstellung an drei Fällen 1199 kas

Hypocalcämische Kardiomyopathie als Ursache einer schweren Linksherzinsuffizienz 1270 kas

Hypocalcämische Kardiomyopathie als Ursache einer schweren Linksherzinsuffizienz (Berichtigung) 1414

Hypocholesterinämie 1677 fr

Kallmann-Syndrom. Pathophysiologie und Klinik 1436 üb

Chronische Hepatitis C bei Typ-II-Kryoglobulinämie und kutaner Vaskulitis 1239 kas

Hypotonatriämisches Koma 1139 lz

Calcitriol-Gabe in der Schwangerschaft bei partieller DiGeorge-Anomalie 1776 kas

Besteht bei einer Insektengift-Allergie immer die Indikation für eine Hyposensibilisierung? 1093 la

Kallmann-Syndrom. Pathophysiologie und Klinik 1436 üb

Hypocholesterinämie 1677 fr

Ventilatorische Insuffizienz und hyperkapnische Kompensation infolge chronisch belasteter »Atempumpe«. Physiologie, Pathophysiologie und Therapie 1209 üb

ICD-Verschlüsselung und Pflege-Personalregelung 1412 lz

(siehe Immunglobulin E)

Aktuelle Möglichkeiten des kontinenten Harnblasenersatzes 1327 üb

Möglichkeiten der laparoskopischen Therapie innerer Hernien. Darstellung an drei Fällen 1199 kas

Hypocalcämische Kardiomyopathie als Ursache einer schweren Linksherzinsuffizienz 1270 kas

Hypocalcämische Kardiomyopathie als Ursache einer schweren Linksherzinsuffizienz (Berichtigung) 1414

Hypocholesterinämie 1677 fr

Kallmann-Syndrom. Pathophysiologie und Klinik 1436 üb

Imidazolpräparate			Epidemiologie und Klinik der chronischen Virushepatitis	1365	üb	Infektionen; opportunistische		
Therapie kutaner und mukokutaner Leishmaniosen	1169	adt	Hepatitis-A-Impfung	1800	fr	Primär kutane Nocardia-farcinica-Infektion nach Herztransplantation	1276	kas
Immunadsorption (siehe LDL-Apherese)			Impfungen bei chronischer Niereninsuffizienz und nach Nierentransplantation	1323	adt	Primär kutane Nocardia-farcinica-Infektion nach Herztransplantation (Berichtigung)	1568	
Immunchemotherapie			Indikationen zur Pestimpfung und -chemoprophylaxe	1714	fr	Sinusitis bei HIV-Infektion	1759	or
Adjuvante Chemotherapie nach kurativer Gastrektomie bei Magenkarzinom	1298	km	Placebo-kontrollierte Untersuchung zur Wirksamkeit der Influenza-Schutzimpfung?	1057	lz	Sputumuntersuchung zur Diagnostik der Pneumocystis-carinii-Pneumonie bei HIV-Infizierten	1151	or
Immundefektsyndrom; humanes erworbenes			Immunkomplexkrankheiten			Unverträglichkeit der Tuberkulosetherapie bei AIDS	1728	kas
Akzidentelle Nadelstichverletzung bei medizinischem Pflegepersonal	1563	fr	Hepatitis-B-assoziierte Vasculitis. Verlauf unter Therapie mit Glucocorticoiden und Alpha-Interferon	1388	kas	Infektionsprophylaxe		
HIV-assoziierte Cholangiopathie	1004	adt	Immundefizienz			Infektionsprophylaxe bei Dauerverweilkanülen	1017	fr
Idiopathische CD4-Lymphozytopenie mit letaler Salmonella-typhimurium-Sepsis	956	kas	Hepatitis-B-assoziierte Vasculitis. Verlauf unter Therapie mit Glucocorticoiden und Alpha-Interferon	1388	kas	Infiltrate; eosinophile pulmonale		
»Look-back«-Studie der DRK-Blutspendedienste	1643	km	Immundefizienz			Churg-Strauss-Syndrom oder chronische eosinophile Pneumonie?	1565	lz
Ösophago-mediastinale Fisteln als seltene Komplikation der Tuberkulose bei einem HIV-infizierten Patienten	1613	kas	Immunglobuline zur Therapie des Guillain-Barré-Syndroms im Kindesalter	1449	lz	Infiltrate; intrapulmonale		
Sputumuntersuchung zur Diagnostik der Pneumocystis-carinii-Pneumonie bei HIV-Infizierten	1151	or	Impfungen bei chronischer Niereninsuffizienz und nach Nierentransplantation	1323	adt	Differentialdiagnose von Rundherden nach Lungentransplantation	1105	or
Unverträglichkeit der Tuberkulosetherapie bei AIDS	1728	kas	Therapie der multiplen Sklerose	1371	fr	Influenza		
Zidovudin bei asymptomatischen HIV-Patienten?	1374	km	Immunozytom			Placebo-kontrollierte Untersuchung zur Wirksamkeit der Influenza-Schutzimpfung?	1057	lz
Immundefizienz			Gamma-Schwerketten-Produktion als Epiphänomen bei Non-Hodgkin-Lymphom	1235	kas	Inoue-Ballon		
Calcitriol-Gabe in der Schwangerschaft bei partieller DiGeorge-Anomalie	1776	kas	Immunozytom; lymphoplasmozytoides			Notfallmäßige perkutane Mitralvalvuloplastie mit dem Inoue-Ballon bei hochgradiger Mitralstenose und kardiogenem Schock	1110	kas
Idiopathische CD4-Lymphozytopenie mit letaler Salmonella-typhimurium-Sepsis	956	kas	Langzeitbeobachtung bei lymphoplasmozytoiden Immunozytomen	1487	lz	INR (siehe International Normalized Ratio)		
Impfungen bei chronischer Niereninsuffizienz und nach Nierentransplantation	1323	adt	Immunsuppression			Insektengift-Allergie		
Sekundäre Neoplasien nach Immunsuppression	1747	üb	Differentialdiagnose von Rundherden nach Lungentransplantation	1105	or	Besteht bei einer Insektengift-Allergie immer die Indikation für eine Hyposensibilisierung?	1093	la
Immunglobulin E			Idiopathische CD4-Lymphozytopenie mit letaler Salmonella-typhimurium-Sepsis	956	kas	Inselzelltransplantation		
Hyper-IgE-Syndrom (Synonyma: Hiob-Syndrom, Buckley-Syndrom, »Job's syndrome«)	1121	mq	Primär kutane Nocardia-farcinica-Infektion nach Herztransplantation	1276	kas	Kombinierte Nieren- und Pankreastransplantation beim diabetischen Spätsyndrom	1399	adt
Immunglobulintherapie			Primär kutane Nocardia-farcinica-Infektion nach Herztransplantation (Berichtigung)	1568		Insomnie		
Immunglobuline zur Therapie des Guillain-Barré-Syndroms im Kindesalter	1449	lz	Psychosoziale Probleme bei Langzeitimmunsuppression nach Organtransplantation	1678	lz	Ambulante Behandlung von Schlafstörungen im Alter	1538	or
Intensivtherapie des Guillain-Barré-Syndroms	1248	üb	Sekundäre Neoplasien nach Immunsuppression	1747	üb	Instabilität; elektrische		
Rationale Substitution mit Blut- und Blutbestandteilkonserven	1555	üb	Immunthrombozytopenie			Akute Myokardischämie, ventrikuläre Tachyarrhythmien und plötzlicher Herztod	1786	üb
Immunisierung			Neonatale Alloimmunthrombozytopenie	1512	üb	Insuffizienz; respiratorische (siehe Ateminsuffizienz)		
Diphtherie-Auffrischimpfung bei Erwachsenen	1219	fr	Impfschemata					
			Diphtherie-Auffrischimpfung bei Erwachsenen	1219	fr			

Rubrikenschlüssel

adt = Aktuelle Diagnostik und Therapie
ar = Arztrecht
as = Der Arzneistoff
epi = Epikrise

fr = Fragen aus der Praxis
gt = Gedenktage
kas = Kasuistiken
km = Kleine Mitteilungen
kom = Kommentare

la = Leitartikel
lz = Leser-Zuschriften
mg = Medizingeschichte
mq = Mediquiz
nk = Nekrologe

or = Originalien
pp = Prinzip & Perspektive
stp = Standpunkte
üb = Übersichten

Insulinbehandlung

Insulinpflichtiger Diabetes mellitus nach 58 Jahren 1450 lz

Insulinbehandlung; intensiverte

Intensivierte Behandlung des Diabetes mellitus Typ I und Entwicklung von Spätkomplikationen 976 km

Insult; zerebraler

Paradoxe zerebrale Embolie oder Dissektion der Arteria carotis interna? 1183 lz

Zerebraler ischämischer Insult. Wertigkeit der transösophagealen Echokardiographie in der Diagnostik kardialer Emboliequellen 1585 adt

Intensivmedizin

Risikofaktoren für gastrointestinale Blutungen bei Patienten der Intensivstation 1337 km

Therapie der akuten Pankreatitis 1739 adt

Interaktionen; von Medikamenten

Hohe Letalität von Tetanusinfektionen nach intramuskulärer Injektion von Chinin 1681 km

Problematik des Äquivalenzbegriffes bei der Therapie mit Glucocorticoiden. Ein Vergleich der klinischen Pharmakokinetik und Pharmakodynamik von Prednisolon und Methylprednisolon 1671 üb

Interferon alpha-2b

Aktueller Stand der Behandlung chronischer Virushepatitiden mit rekombinantem Interferon alpha 961 adt

Hepatitis-B-assoziierte Vasculitis. Verlauf unter Therapie mit Glucocorticoiden und Alpha-Interferon 1388 kas

Intermittent Positive Pressure Ventilation

Ventilatorische Insuffizienz und hyperkapnische Kompensation infolge chronisch belasteter »Atempumpe«. Physiologie, Pathophysiologie und Therapie 1209 üb

International Classification of Diseases

ICD-Verschlüsselung und Pflege-Personalregelung 1412 lz

International Normalized Ratio

Ist die »International Normalized Ratio (INR)« in der klinischen Praxis unentbehrlich? 1529 la

Intimadisektion

(siehe Dissektion; der Gefäßintima)

Intoxikationen

Akute Vergiftung durch fluoridiertes Trinkwasser 1185 km

Bleiintoxikation durch Mennige in Paprikapulver 1756 lz

Ciguatera. Neue Fälle von Fischvergiftung bei deutschen Karibik-Urlaubern 975 lz

Enzephalopathie nach Intoxikation mit einem Anticholinergikum 1803 lz

Serum-Cholinesterase 1016 fr

Invagination 960 mq

Invagination bei Peutz-Jeghers-Syndrom

Ischämie; mesenteriale 979 or

Chronische mesenteriale Ischämie

Ischämie; zerebrale

Zerebraler ischämischer Insult. Wertigkeit der transösophagealen Echokardiographie in der Diagnostik kardialer Emboliequellen 1585 adt

J**Jodexposition**

Jodinduzierte Hyperthyreose bei metastasiertem Schilddrüsenkarzinom 1573 kas

Latente Hyperthyreose 1334 fr

Jod-123-Octreotid (siehe Octreotid)

Jodsalzprophylaxe 1339 la

Jodprophylaxe in der Schwangerschaft

Juckreiz (siehe Pruritus)

K**Kaliumkanalblocker**

Sotalol 1477 as

Kallmann-Syndrom 1436 üb

Kallmann-Syndrom. Pathophysiologie und Klinik

Kardiomyopathie; dilatative 1604 km

Beta-Rezeptorenblocker bei dilatativer Kardiomyopathie

Kardiomyopathie; hypocalcämische 1270 kas

Hypocalcämische Kardiomyopathie als Ursache einer schweren Linksherzinsuffizienz 1414

Hypocalcämische Kardiomyopathie als Ursache einer schweren Linksherzinsuffizienz (Berichtigung)

Kardioversion; elektrische 1405 üb

Therapie bradykarder und tachykarder Rhythmusstörungen durch transösophageale Elektrostimulation des Herzens

Karpaltunnelsyndrom

Neurologische Symptomatik, Diagnostik und Therapie des sogenannten »thoracic-outlet-syndrome« 1087 üb

Diagnose eines Ullrich-Turner-Syndroms im Rentenalters 1115 kas

Karyogramm

Asbest-induzierte Erkrankungen der Lunge und Pleura 1603 lz

Das extrapulmonale kleinzellige Karzinom – eine Rarität? 1591 üb

Gerbstoffe und Krebsrisiko 1411 fr

Risiken der Sonnenexposition 1047 üb

Schistosomiasis und Siegelringzellkarzinom der Ileo-zökalklappe 1058 lz

Sekundäre Neoplasien nach Immunsuppression 1747 üb

Karzinom; kleinzelliges extrapulmonales 1591 üb

Das extrapulmonale kleinzellige Karzinom – eine Rarität?

Karzinom; kolorektales 1663 adt

Adjuvante Therapie bei kolorektalen Karzinomen 1001 adt

Endoskopische Diagnostik zur Prävention und Früherkennung des kolorektalen Karzinoms

Karzinomrisiko 1757 km

Hodenkrebsrisiko nach Vasektomie

Katarakt 1486 fr

Ambulante Kataraktoperationen

Katheter-Rekanalisation; retrograde 948 or

Retrograde Katheter-Rekanalisation langstreckiger Verschlüsse der Arteria femoralis superficialis

Katheterverschluß; bei Herzvitien 1341 or

Nicht-operativer Verschluß des Vorhofseptumdefektes bei Erwachsenen. Erfahrungen mit dem Rashkind- und dem Sideris-Okkluder

Kayser-Fleischer-Kornealring 1421 kas

Hämolytische Krise mit Leberversagen als Erstmanifestation eines Morbus Wilson

Keratinolyse 1126 üb

Harnstoff in der Dermatologie

Keratoconjunctivitis sicca 1783 adt

Sicca-Symptomatik unter systemischer Therapie mit Beta-Rezeptorenblockern

Keratosi solaris 1223 km

Solare Keratose und Sonnenschutzmittel

Ketokonazol									
Therapie kutaner und mukokutaner Leishmaniosen	1169	adt	Einfluß einer niedrigdosierten Hydrochlorothiazidtherapie auf den Knochenmineralgehalt des axialen und peripheren Skeletts	1645	or	Komplikationen; bei operativen Eingriffen			
Kinderkardiologie									
Adenosintriphosphat (ATP) bei supraventrikulären Tachykardien im Neugeborenen- und Säuglingsalter	1351	kas	Osteoporose bei Männern. Pathogenese und klinische Einteilung bei 254 Fällen	943	or	Komplikationen; bei therapeutischen Eingriffen			
Kinderunfälle; im Straßenverkehr									
Kindersitz im Personenwagen bewährt sich	976	km	Knochenmetastasen			Akute Hämolyse mit nachfolgender lebensbedrohlicher Pankreatitis bei Hämodialyse. Eine Komplikation, die von den derzeitigen Dialysegeräten nicht verhindert wird	1263	or	
Klappenöffnungsfläche									
Operationsindikation bei asymptomatischer hochgradiger Aortenklappenstenose	1630	üb	Knochenstoffwechsel			Akuter Koronargefäßverschluß nach elektiver perkutaner transluminaler Koronarangioplastie. Inzidenz und Therapie bei 5000 konsekutiven Patienten	1023	or	
Klassifikationen/Stadieneinteilungen									
Adjuvante Therapie bei kolorektalen Karzinomen	1663	adt	Asymptomatischer primärer Hyperparathyreoidismus. Behandeln oder beobachten?	967	üb	Farbdopplersonographisch gesteuerte perkutane Alkoholinstillation zur Therapie der funktionellen Schilddrüsenautonomie	1607	or	
Diagnostik und Therapie des Analkarzinoms	1701	adt	Diagnostik des Osteoporoserisikos. Neue Entwicklungen und »State of the Art« 1994	1289	üb	Langzeitdilataion bei erfolgloser perkutaner transluminaler Koronarangioplastie	1458	or	
Sotalol	1477	as	Einfluß einer niedrigdosierten Hydrochlorothiazidtherapie auf den Knochenmineralgehalt des axialen und peripheren Skeletts	1645	or	Schrittmachtherapie beim Syndrom des kranken Sinusknotens. Senken vorhoffbeteiligte Schrittmachersysteme die Häufigkeit von Vorhofflimmern und thromboembolischen Komplikationen sowie die Mortalität?	1683	or	
Therapie der akuten Pankreatitis	1739	adt	Kognitionsstörungen			Konsensuskonferenz			
Kniegelenkserguß; rezidivierender						Ist die Ulcuskrankheit eine Infektionskrankheit?	1488	km	
Baker-Zyste bei osteoartikulärer Tuberkulose des Kniegelenks	1579	kas	Neuropsychiatrische Symptomatik bei primärem Hyperparathyreoidismus	1076	kas	Kontaktexzem			
Baker-Zyste bei osteoartikulärer Tuberkulose des Kniegelenks (Berichtigung)	1806		Kollagenosen			Eczema craquelé	1203	mq	
Knochenalter						Kontrazeption; hormonelle			
Differenzierung zwischen prä-maturer Thelarche und Pubertas praecox anhand klinischer, hormoneller und radiologischer Befunde	1301	or	Diagnostik und Bedeutung von antinukleären Antikörpern	1137	lz	Orale Kontrazeption bei Protein-C-Mangel	1100	fr	
Knochendichte						Kopfschmerzen			
Diagnostik des Osteoporoserisikos. Neue Entwicklungen und »State of the Art« 1994	1289	üb	Kolonbiopsie			Kopfschmerzen unter Ciclosporin-Therapie	1135	fr	
Einfluß einer niedrigdosierten Hydrochlorothiazidtherapie auf den Knochenmineralgehalt des axialen und peripheren Skeletts	1645	or	Zeitintervall zwischen Koloskopie mit Biopsie und Kolonkontrasteinlauf	1333	fr	Koronarmorphologie			
Osteoporose bei Männern. Pathogenese und klinische Einteilung bei 254 Fällen	943	or	Kolonkarzinom			Wiedereröffnung chronischer Koronararterienverschlüsse: Welche Faktoren beeinflussen den Erfolg?	1766	or	
Knochenmarktransplantation						Koronarverschlüsse			
Aufbau der Deutschen Knochenmarkspenderdatei	1359	adt	Adjuvante Chemotherapie beim operierten Kolonkarzinom	1181	fr	Akuter Koronargefäßverschluß nach elektiver perkutaner transluminaler Koronarangioplastie. Inzidenz und Therapie bei 5000 konsekutiven Patienten	1023	or	
Knochenmasse									
Diagnostik des Osteoporoserisikos. Neue Entwicklungen und »State of the Art« 1994	1289	üb	Adjuvante Therapie bei kolorektalen Karzinomen	1663	adt				
			Kolonkontrasteinlauf						
			Zeitintervall zwischen Koloskopie mit Biopsie und Kolonkontrasteinlauf	1333	fr				
			Kolontuberkulose						
			Endoskopische Diagnose einer Kolontuberkulose	1653	kas				
			Koloskopie						
			Zeitintervall zwischen Koloskopie mit Biopsie und Kolonkontrasteinlauf	1333	fr				
			Komplikationen; bei diagnostischen Eingriffen						
			Zeitintervall zwischen Koloskopie mit Biopsie und Kolonkontrasteinlauf	1333	fr				

Rubrikenschlüssel

adt = Aktuelle Diagnostik und Therapie
 ar = Arztrecht
 as = Der Arzneistoff
 epi = Epikrise

fr = Fragen aus der Praxis
 gt = Gedenktage
 kas = Kasuistiken
 km = Kleine Mitteilungen
 kom = Kommentare

la = Leitartikel
 lz = Leser-Zuschriften
 mg = Medizingeschichte
 mq = Mediquiz
 nk = Nekrologe

or = Originalien
 pp = Prinzip & Perspektive
 stp = Standpunkte
 üb = Übersichten

Wiedereröffnung chronischer Koronararterienverschlüsse: Welche Faktoren beeinflussen den Erfolg?	1766	or	Langzeitdilata-tion; von Koronarstenosen Langzeitdilata-tion bei erfolgloser perkutaner transluminaler Koronarangioplastie	1458	or	Leiomyom; des Magens Leiomyom des Magens	1167	mq
Kostenentwicklung; im Gesundheitswesen						Leishmaniosen; mukokutane Therapie kutaner und mukokutaner Leishmaniosen	1169	adt
ICD-Verschlüsselung und Pflege-Personalregelung	1412	lz	Langzeit-Elektrokardiographie			Leistenhernien		
Kostenvergleich zwischen der laparoskopischen Cholezystektomie und der extrakorporalen Stoßwellenlithotripsie in der Behandlung von Gallenblasensteinen	1532	or	Akute Myokardischämie, ventrikuläre Tachyarrhythmien und plötzlicher Herztod	1786	üb	Eingeklemmte Leistenhernie. Hydrocele testis	1358	mq
Krampfanfälle			Langzeit-pH-Manometrie			Leitungsbahnen; akzessorische		
Zerebrale Anfälle unter Doxepin während einer Substitution mit Dihydrocodein	1260	lz	Diagnostik der gastroösophagealen Refluxkrankheit	1433	adt	Klinische Bedeutung des Ajmalin-Tests in der nicht-invasiven Diagnostik bei Wolff-Parkinson-White-Syndrom	985	or
Kreatinkinaseerhöhung			Lansoprazol			Leukenzephalopathie		
Akutes myoglobinurisches Nierenversagen als Folge von autoaggressivem Verhalten bei Oligophrenie	994	kas	Therapie der gastroösophagealen Refluxkrankheit	1473	adt	Leukenzephalopathie nach intrathekaler Zytostatikagabe bei akuter lymphatischer Leukämie	1637	fr
Krebsrisiko			Laparoskopie			Levamisol		
Britische Atomwaffentests der fünfziger und sechziger Jahre	1413	km	Derzeitiger Stellenwert der Laparoskopie in der onkologischen Chirurgie	1518	kom	Adjuvante Chemotherapie beim operierten Kolonkarzinom	1181	fr
Krisen; hypertonische			Laparoskopische Cholezystektomie nach Leberveroperation	1184	lz	Adjuvante Therapie bei kolorektalen Karzinomen	1663	adt
Symptomatik und endokrinologische Befunde bei catecholamin-sezernierenden Tumoren. Ergebnisse bei 106 konsekutiven Patienten	1721	or	Larson-Syndrom			LH-FSH-Quotient		
Kryoglobulinämie; Typ II			Larson-Syndrom	1584	mq	Differenzierung zwischen prä-maturer Thelarche und Pubertas praecox anhand klinischer, hormoneller und radiologischer Befunde	1301	or
Chronische Hepatitis C bei Typ-II-Kryoglobulinämie und kutaner Vaskulitis	1239	kas	Larva migrans cutanea			LHRH-Test		
Kryptorchismus			Larva migrans cutanea («creeping eruption»)	1505	mq	Differenzierung zwischen prä-maturer Thelarche und Pubertas praecox anhand klinischer, hormoneller und radiologischer Befunde	1301	or
Kallmann-Syndrom. Pathophysiologie und Klinik	1436	üb	Lavage; bronchoalveoläre			Lichtstrahlen		
Kupferstoffwechsel			Sputumuntersuchung zur Diagnostik der Pneumocystis-carinii-Pneumonie bei HIV-Infizierten	1151	or	Risiken der Sonnenexposition	1047	üb
Hämolytische Krise mit Leberversagen als Erstmanifestation eines Morbus Wilson	1421	kas	LDL-Apherese			Linksherzinsuffizienz		
Kyphoskoliose			Intensivtherapie des Guillain-Barré-Syndroms	1248	üb	Hypocalcämische Kardiomyopathie als Ursache einer schweren Linksherzinsuffizienz	1270	kas
Ventilatorische Insuffizienz und hyperkapnische Kompensation infolge chronisch belasteter »Atempumpe«. Physiologie, Pathophysiologie und Therapie	1209	üb	Lebensmittelverunreinigungen			Hypocalcämische Kardiomyopathie als Ursache einer schweren Linksherzinsuffizienz (Berichtigung)	1414	
			Bleiintoxikation durch Mennige in Paprikapulver	1756	lz	Lipidsenker		
L			Lebertransplantation			Gallenblasen-Sludge und Einnahme von Lipidsenkern	1524	fr
Laboratoriumsmedizin			Hämolytische Krise mit Leberversagen als Erstmanifestation eines Morbus Wilson	1421	kas	Hypercholesterinämie	1099	fr
Die erhöhte Gamma-GT (Gamma-Glutamyltransferase). Ursachen und Interpretationen	1041	adt	Therapie des Aszites bei Lebererkrankungen	1549	adt	Lipom; intragastrales		
Klinische Bedeutung der Polymerase-Kettenreaktion in der Infektiologie	1625	adt	Lebervenenverschußdruck			Lipom mit zentraler Ulzeration und Blutung	1547	mq
Persistierende Antistreptolysin-Titer	1099	fr	Lebervenenverschußdruckmessung	1245	adt	Liposomen		
Sputumuntersuchung zur Diagnostik der Pneumocystis-carinii-Pneumonie bei HIV-Infizierten	1151	or	Leberversagen; akutes			Behandlung der Neurodermitis mit Liposomen?	1219	fr
			Hämolytische Krise mit Leberversagen als Erstmanifestation eines Morbus Wilson	1421	kas	Liquorzirkulationsstörungen		
			Leberzellkarzinom			Syringomyelie als seltene Ursache einer beatmungspflichtigen respiratorischen Insuffizienz	1771	kas
			Epidemiologie und Klinik der chronischen Virushepatitis	1365	üb			
			Lecithin-Cholesterin-Acyltransferase					
			Fischaugenkrankheit	1393	kas			
			Lehre; medizinische					
			Welches Menschenbild formt zukünftige Ärztinnen und Ärzte an der Universität?	1131	kom			

Meningitis Präsakrale Phlegmone und Meningitis als Komplikationen eines Fremdkörpers im Rektosigmoid	990	kas	Mischtumor; der Haut Sogenannter Mischtumor der Haut (chondroides Syndrom)	1471	mq	Morbus haemolyticus neonatorum Neonatale Alloimmunthrombozytopenie	1512	üb
Mennige Bleiintoxikation durch Mennige in Paprikapulver	1756	lz	Mitralinsuffizienz; akute Akute Mitralinsuffizienz bei Osteogenesis imperfecta	1101	lz	Morbus Köhlmeier-Dégos Maligne atrophische Papulose	1427	kas
Mesenterialarterienstenosen Chronische mesenteriale Ischämie	979	or	Notfallmäßige perkutane Mitralvalvuloplastie mit dem Inoue-Ballon bei hochgradiger Mitralstenose und kardiogenem Schock	1110	kas	Morbus Paget Ostitis deformans (Morbus Paget)	1122	mq
Metajodbenzylguanidinszintigraphie Symptomatik und endokrinologische Befunde bei katecholamin-sezernierenden Tumoren. Ergebnisse bei 106 konsekutiven Patienten	1721	or	Mitralklappenprolaps Akute Mitralinsuffizienz bei Osteogenesis imperfecta	1101	lz	Morbus Parkinson Bromocriptin-induzierte Pleuropneumopathie	1543	kas
Methotrexat Leukenzephalopathie nach intrathekaler Zytostatikagabe bei akuter lymphatischer Leukämie	1637	fr	Zerebraler ischämischer Insult. Wertigkeit der transösophagealen Echokardiographie in der Diagnostik kardialer Emboliequellen	1585	adt	Morbus Waldenström Langzeitbeobachtung bei lymphoplasmazytoiden Immunozytomen	1487	lz
Methylprednisolon Problematik des Äquivalenzbegriffes bei der Therapie mit Glucocorticoiden. Ein Vergleich der klinischen Pharmakokinetik und Pharmakodynamik von Prednisolon und Methylprednisolon	1671	üb	Mitralstenose Notfallmäßige perkutane Mitralvalvuloplastie mit dem Inoue-Ballon bei hochgradiger Mitralstenose und kardiogenem Schock	1110	kas	Morbus Whipple Nachweis von Tropheryma whippelii mit der Polymerase-Kettenreaktion vor und nach Therapie eines Morbus Whipple	1679	lz
Microsporon canis Tinea capitis durch Microsporon canis	1357	mq	Mitralvalvuloplastie Notfallmäßige perkutane Mitralvalvuloplastie mit dem Inoue-Ballon bei hochgradiger Mitralstenose und kardiogenem Schock	1110	kas	Morbus Wilson Hämolytische Krise mit Lebersversagen als Erstmanifestation eines Morbus Wilson	1421	kas
Migräne Fibromyalgie-Syndrom	1639	lz	Mißbildungen; konnatale Kongenital korrigierte Transposition der großen Arterien im Erwachsenenalter. Wert nicht-invasiver Untersuchungsmethoden	1156	kas	Morphometrie Diagnostik des Osteoporoserisikos. Neue Entwicklungen und »State of the Art« 1994	1289	üb
Mikroalbuminämie Angiotensin-Converting-Enzym-Hemmer bei der Behandlung der diabetischen Nephropathie	1298	km	Prader-Labhart-Willi-Syndrom	974	fr	Mucosa-Associated Lymphatic Tissue Ist die Ulcuskrankheit eine Infektionskrankheit?	1488	km
Mikrozirkulation; koronare Angina pectoris und normales Koronarangiogramm bei arterieller Hypertonie und linksventrikulärer Hypertrophie	1175	üb	Molekulargenetik Prader-Labhart-Willi-Syndrom	974	fr	Muir-Torre-Syndrom Endoskopische Diagnostik zur Prävention und Früherkennung des kolorektalen Karzinoms	1001	adt
Miktionsstörungen Aktuelle Epidemiologie, Diagnostik und Therapie der Urogenitaltuberkulose	1121	adt	Morbus Basedow Jodprophylaxe in der Schwangerschaft	1339	la	Mukoviszidose Zystische Fibrose	1259	lz
Minderwuchs Diagnose eines Ullrich-Turner-Syndroms im Rentengutachten	1115	kas	Neonatale Hyperthyreose bei nicht diagnostiziertem Morbus Basedow der Mutter. Probleme der Diagnostik und Therapie anhand einer Kasuistik	1346	kas	Multiple Sklerose Therapie der multiplen Sklerose	1371	fr
Minimal Invasive Surgery (siehe Operationen; endoskopische)			Morbus Crohn Diättherapie des Morbus Crohn	1140	km	Muskelatrophie Neurologische Symptomatik, Diagnostik und Therapie des sogenannten »thoracic-outlet-syndrome«	1087	üb
Minor Access Surgery (siehe Operationen; endoskopische)			Endoskopische Ballondilatation symptomatischer Strikturen bei Morbus Crohn	1377	or	Muskelphysiologie Hermann von Helmholtz (1821-1894) – Militärarzt, Sinnesphysiologe und »Reichskanzler der deutschen Physik«. Zum 100. Todestag des universalen Arztes und Naturforschers	1215	mg
			Hochgradige Sigmastenose bei Rezidiv eines Morbus Crohn	1624	mq	Muskelschmerzen (siehe Myalgien)		
			Luft in der Blase durch Fistelverbindung zum Darm	1472	mq	Müdigkeit Müdigkeit und psychologischer Streß	1451	km
			Morbus Down (siehe Trisomie 21)					
			Morbus Fabry Angiokeratoma corporis diffusum	1281	mq			

Neoplasie; Multiple Endo-**krine; Typ II A**

Interdisziplinäre Aspekte der Notalgia paraesthetica 1307 kas

Neoplasien; okkulte

Tiefe Venenthrombose und okkulte, maligne Neoplasien 1719 km

Neoplasien; sekundäre nach Immunsuppression

Sekundäre Neoplasien nach Immunsuppression 1747 üb

Nephrocalcinose

Asymptomatischer primärer Hyperparathyreoidismus. Behandeln oder beobachten? 967 üb

Nephrolithiasis

Asymptomatischer primärer Hyperparathyreoidismus. Behandeln oder beobachten? 967 üb

Nephropathie; diabetische

Angiotensin-Converting-Enzym-Hemmer bei der Behandlung der diabetischen Nephropathie 1298 km

Intensivierte Behandlung des Diabetes mellitus Typ I und Entwicklung von Spätkomplikationen 976 km

Nephrotoxizität

Rolle von Endothelin bei den Ciclosporin-Nebenwirkungen Nephrotoxizität und arterielle Hypertonie 1706 üb

Nervenkompressions-syndrom

Interdisziplinäre Aspekte der Notalgia paraesthetica 1307 kas

Neurologische Symptomatik, Diagnostik und Therapie des sogenannten »thoracic-outlet-syndrom« 1087 üb

Nervenleitgeschwindigkeit

Hermann von Helmholtz (1821-1894) – Militärarzt, Sinnesphysiologe und »Reichskanzler der deutschen Physik«. Zum 100. Todestag des universalen Arztes und Naturforschers 1215 mg

Neuralgie; postzosterische

Wirksamkeit von Aciclovir und Glucocorticoiden in der Behandlung des Herpes zoster und postzosterischer Neuralgien 1526 km

Neurodermitis

(siehe Ekzem; endogenes)

Neuroleptika

Ambulante Behandlung von Schlafstörungen im Alter 1538 or

Neurologie

Hermann von Helmholtz (1821-1894) – Militärarzt, Sinnesphysiologe und »Reichskanzler der deutschen Physik«. Zum 100. Todestag des universalen Arztes und Naturforschers 1215 mg

Neuropathie; sensible

Interdisziplinäre Aspekte der Notalgia paraesthetica 1307 kas

Neurotoxizität

Kopfschmerzen unter Ciclosporin-Therapie 1135 fr

Nicotinpflaster

Nicotinpflaster bei Colitis ulcerosa 1261 km

Niereninsuffizienz; akute

Akutes myogloburisches Nierenversagen als Folge von autoaggressivem Verhalten bei Oligophrenie 994 kas

Einseitige diffuse Lungenbeteiligung bei Vaskulitis mit Anti-Neutrophilen-Zytoplasma-Antikörpern sowie Antikörpern gegen glomeruläre Basalmembranen 1071 kas

Niereninsuffizienz; chronische

Akute Hämolyse mit nachfolgender lebensbedrohlicher Pankreatitis bei Hämodialyse. Eine Komplikation, die von den derzeitigen Dialysegeräten nicht verhindert wird 1263 or

Glomeruläre Hyperperfusion und Niereninsuffizienz 1136 fr

Impfungen bei chronischer Niereninsuffizienz und nach Nierentransplantation 1323 adt

Nierentransplantation

Impfungen bei chronischer Niereninsuffizienz und nach Nierentransplantation 1323 adt

Kombinierte Nieren- und Pankreastransplantation beim diabetischen Spätsyndrom 1399 adt

Nierenzysten

Rupturgefahr bei Nierenzysten 1486 fr

Nitroglycerin; transdermal

GISSI III: Wirkung von Lisinopril und transdermaler Applikation von Nitroglycerin nach akutem Herzinfarkt 1804 km

NO

(siehe Stickstoffmonoxid)

Nobelpreise für Medizin

Nobelpreis für Medizin 1994 1792 kom

Nokardiose

Primär kutane Nocardia-farcinica-Infektion nach Herztransplantation 1276 kas

Primär kutane Nocardia-farcinica-Infektion nach Herztransplantation (Berichtigung) 1568

Non-Hodgkin-Lymphome

Gamma-Schwerketten-Produktion als Epiphänomen bei Non-Hodgkin-Lymphom 1235 kas

Langzeitbeobachtung bei lymphoplasmazytoiden Immunozytomen 1487 lz

Non-Responder; nach aktiver Immunisierung

Impfungen bei chronischer Niereninsuffizienz und nach Nierentransplantation 1323 adt

Impfungen bei chronischer Niereninsuffizienz und nach Nierentransplantation 1323 adt

Normalwerte

Cholesterin-Normalwerte im Kindesalter 1371 fr

Persistierende Antistreptolysin-Titer 1099 fr

Notalgia paraesthetica

Interdisziplinäre Aspekte der Notalgia paraesthetica 1307 kas

Notfallmedizin

Beta-Rezeptorenblocker als Notfallmaßnahme bei akutem Herzinfarkt? 1715 fr

O**Oat Cell Karzinom**

Das extrapulmonale kleinzellige Karzinom – eine Rarität? 1591 üb

Octreotid

Therapie der akuten Pankreatitis 1739 adt

Okkluder

Nicht-operativer Verschluss des Vorhofseptumdefektes bei Erwachsenen. Erfahrungen mit dem Rashkind- und dem Sideris-Okkluder 1341 or

Omeprazol

Ist die Ulcuskrankheit eine Infektionskrankheit? 1488 km

Omeprazol 1173 as

Therapie der gastroösophagealen Refluxkrankheit 1473 adt

Operationen; endoskopische

Derzeitiger Stellenwert der Laparoskopie in der onkologischen Chirurgie 1518 kom

Laparoskopische Cholezystektomie nach Lebervoroperation 1184 lz

Methoden der interventionellen Pneumologie 1083 adt

Möglichkeiten der laparoskopischen Therapie innerer Hernien. Darstellung an drei Fällen 1199 kas

Operationen; laparoskopische

(siehe Operationen; endoskopische)

Operationen; laparoskopische

(siehe Operationen; endoskopische)

Operieren; ambulantes									
Ambulante Kataraktoperationen	1486	fr	Ösophagusvarizen	1443	kom	Papulose; maligne atrophische			
			Endoskopische Therapie der Ösophagusvarizenblutung	959	mq	Maligne atrophische Papulose	1427	kas	
			Fundusvarizen			Paraganglien			
Osteodensitometrie						Symptomatik und endokrinologische Befunde bei katecholamin-sezernierenden Tumoren. Ergebnisse bei 106 konsekutiven Patienten	1721	or	
Diagnostik des Osteoporosierisikos. Neue Entwicklungen und »State of the Art« 1994	1289	üb				Paraneoplasien			
Einfluß einer niedrigdosierten Hydrochlorothiazidtherapie auf den Knochenmineralgehalt des axialen und peripheren Skeletts	1645	or	P			(siehe Syndrom; paraneoplastisches)			
			PAI-1			Parasitosen			
			(siehe Fibrinolyse)			Gnathostomiasis nach Aufenthalt in Thailand	1618	kas	
Osteomyelitis			Palliation			Larva migrans cutanea (»creeping eruption«)	1505	mq	
Lumbale Spondylodiszitis durch Salmonella enteritidis	1383	kas	Derzeitiger Stellenwert der Laparoskopie in der onkologischen Chirurgie	1518	kom	Paresen; schlaffe			
			Endoskopische transthorakale Sympathektomie bei paraneoplastischem Raynaud-Syndrom	1162	kas	Intensivtherapie des Guillain-Barré-Syndroms	1248	üb	
Osteopathien			Pankreasabszeß			PBM			
Ostitis deformans (Morbus Paget)	1122	mq	Therapie der akuten Pankreatitis	1739	adt	(siehe Peak-Bone-Mass)			
Osteoporose			Pankreas-Duodenum-Nieren-Transplantation; simultane			Peak-Bone-Mass			
Diagnose eines Ullrich-Turner-Syndroms im Rentengutachten	1115	kas	Kombinierte Nieren- und Pankreastransplantation beim diabetischen Spätsyndrom	1399	adt	Osteoporose bei Männern. Pathogenese und klinische Einteilung bei 254 Fällen	943	or	
Diagnostik des Osteoporosierisikos. Neue Entwicklungen und »State of the Art« 1994	1289	üb	Pankreasinsuffizienz			Pentamidin			
Einfluß einer niedrigdosierten Hydrochlorothiazidtherapie auf den Knochenmineralgehalt des axialen und peripheren Skeletts	1645	or	Zystische Fibrose	1259	lz	Therapie kutaner und mukokutaner Leishmaniosen	1169	adt	
Osteoporose bei Männern. Pathogenese und klinische Einteilung bei 254 Fällen	943	or	Pankreaskarzinom			Persönlichkeitsveränderungen			
Vitamin D und Osteoporose. Pathogenese – Therapie	1479	üb	Pankreaskopfkarzinom mit Stenosen der Ductus pancreaticus et choledochus	1168	mq	Neuropsychiatrische Symptomatik bei primärem Hyperparathyreoidismus	1076	kas	
Ovarialzysten			Pyloruserhaltung – »a never ending story«	1372	lz	Pest			
Differenzierung zwischen prä-maturer Thelarche und Pubertas praecox anhand klinischer, hormoneller und radiologischer Befunde	1301	or	Pankreaspseudozyste			Indikationen zur Pestimpfung und -chemoprophylaxe	1714	fr	
			ERCP bei bekannter Pankreaspseudozyste	1755	fr	Peutz-Jeghers-Syndrom			
Ozon			Therapie der akuten Pankreatitis	1739	adt	Endoskopische Diagnostik zur Prävention und Früherkennung des kolorektalen Karzinoms	1001	adt	
Risiken der Sonnenexposition	1047	üb	Pankreastransplantation			Invagination bei Peutz-Jeghers-Syndrom	960	mq	
Ösophagitis			Kombinierte Nieren- und Pankreastransplantation beim diabetischen Spätsyndrom	1399	adt	Pflege-Personalregelung			
Diagnostik der gastroösophagealen Refluxkrankheit	1433	adt	Pankreatitis			ICD-Verschlüsselung und Pflege-Personalregelung	1412	lz	
Therapie der gastroösophagealen Refluxkrankheit	1473	adt	Akute Hämolyse mit nachfolgender lebensbedrohlicher Pankreatitis bei Hämodialyse. Eine Komplikation, die von den derzeitigen Dialysegeräten nicht verhindert wird	1263	or	Pfortaderdruck			
Ösophagitis-Klassifikation			Therapie der akuten Pankreatitis	1739	adt	Lebervenenverschußdruckmessung	1245	adt	
Therapie der gastroösophagealen Refluxkrankheit	1473	adt	Panzytopenie			Pharmakodynamik			
Ösophaguskarzinom			Schwere Panzytopenie im hohen Lebensalter nach zwölfmonatiger ACE-Hemmer-Therapie	1029	kas	Problematik des Äquivalenzbegriffes bei der Therapie mit Glucocorticoiden. Ein Vergleich der klinischen Pharmakokinetik und Pharmakodynamik von Prednisolon und Methylprednisolon	1671	üb	
Ösophaguskarzinom	1781	mq	Paprikapulver						
Ösophagusmanometrie			Bleiintoxikation durch Mengen in Paprikapulver	1756	lz				
(siehe Manometrie; des Ösophagus)									
Ösophagusmotilität									
Diagnostik der gastroösophagealen Refluxkrankheit	1433	adt							

Rubrikenschlüssel

adt = Aktuelle Diagnostik und Therapie
 ar = Arztrecht
 as = Der Arzneistoff
 epi = Epikrise

fr = Fragen aus der Praxis
 gt = Gedenktage
 kas = Kasuistiken
 km = Kleine Mitteilungen
 kom = Kommentare

la = Leitartikel
 lz = Leser-Zuschriften
 mg = Medizingeschichte
 mq = Mediquiz
 nk = Nekrologe

or = Originalien
 pp = Prinzip & Perspektive
 stp = Standpunkte
 üb = Übersichten

Pharmakokinetik									
Problematik des Äquivalenzbegriffes bei der Therapie mit Glucocorticoiden. Ein Vergleich der klinischen Pharmakokinetik und Pharmakodynamik von Prednisolon und Methylprednisolon	1671	üb							
Phlebothrombosen									
Einsatz von niedermolekularem Heparin zur Antikoagulation in der Schwangerschaft	1497	kas							
Östrogenantagonisten und Thromboseprophylaxe	1182	fr							
Tiefe Venenthrombose und okkulte, maligne Neoplasien	1719	km							
Phlegmone; präsakrale									
Präsakrale Phlegmone und Meningitis als Komplikationen eines Fremdkörpers im Rektosigmoid	990	kas							
Phosphatase; alkalische									
Hämolytische Krise mit Leberversagen als Erstmanifestation eines Morbus Wilson	1421	kas							
Phospholipase C									
Rolle von Endothelin bei den Ciclosporin-Nebenwirkungen Nephrotoxizität und arterielle Hypertonie	1706	üb							
Phosphorsäureester									
Serum-Cholinesterase	1016	fr							
Photosensibilisierung (siehe Therapie; photodynamische)									
Physiotherapie									
Zystische Fibrose	1259	lz							
Pigmentanomalie									
Interdisziplinäre Aspekte der Notalgia paraesthetica	1307	kas							
Plasmapherese (siehe Plasmaseparation)									
Plasmaseparation									
Intensivtherapie des Guillain-Barré-Syndroms	1248	üb							
Plasminogenaktivator (siehe Fibrinolyse)									
Plasmozytom									
Generalisiertes IgG-Lambda-Plasmozytom und Stenose eines Cimino-Shunts durch plasmazelluläre Infiltration	1694	kas							
Pleuraerguß									
Bromocriptin-induzierte Pleuropneumopathie	1543	kas							
Pleuramesotheliom; malignes									
Asbest-induzierte Erkrankungen der Lunge und Pleura	1603	lz							
Pleuritis									
Bromocriptin-induzierte Pleuropneumopathie	1543	kas							
Plexus brachialis									
Neurologische Symptomatik, Diagnostik und Therapie des sogenannten »thoracic-outlet-syndrome«	1087	üb							
Pneumocystis-carinii-Pneumonie									
Sputumuntersuchung zur Diagnostik der Pneumocystis-carinii-Pneumonie bei HIV-Infizierten	1151	or							
Pneumologie; interventionelle									
Methoden der interventionellen Pneumologie	1083	adt							
Pneumonie									
»Bronchiolitis obliterans organizing pneumonia« mit akuter respiratorischer Insuffizienz	1312	kas							
Churg-Strauss-Syndrom oder chronische eosinophile Pneumonie?	1565	lz							
Isolierung von Chlamydia pneumoniae bei atypischer Pneumonie	1462	kas							
Polyangiitis; mikroskopische									
Einseitige diffuse Lungenbeteiligung bei Vaskulitis mit Anti-Neutrophilen-Zytoplasma-Antikörpern sowie Antikörpern gegen glomeruläre Basalmembranen	1071	kas							
Polymerase-Kettenreaktion									
Klinische Bedeutung der Polymerase-Kettenreaktion in der Infektiologie	1625	adt							
Nachweis von Tropheryma whippelii mit der Polymerase-Kettenreaktion vor und nach Therapie eines Morbus Whipple	1679	lz							
Polymorphismus; genetischer									
Neonatale Alloimmunthrombozytopenie	1512	üb							
Polymyalgia rheumatica									
Heiserkeit bei Polymyalgia rheumatica	1566	lz							
Polyneuritis									
Polyneuritis und Myositis bei Trypanosoma-gambiense-Infektion	1690	kas							
Polyneuropathie; neoplastische									
Autoimmunprozesse als paraneoplastische Manifestationen bei familiärem Mammakarzinom	1194	kas							
Polyposis; intestinalis									
Endoskopische Diagnostik zur Prävention und Früherkennung des kolorektalen Karzinoms	1001	adt							
Invagination bei Peutz-Jeghers-Syndrom	960	mq							
Polyradikulitis									
Intensivtherapie des Guillain-Barré-Syndroms	1248	üb							
Polysaccharide; proteingebundene									
Adjuvante Chemotherapie nach kurativer Gastrektomie bei Magenkarzinom	1298	km							
Polysomnographie									
Morbidität und Letalität bei Schlafapnoe und nächtlichen Bradyarrhythmien	1187	or							
Posttransplant Lymphoproliferative Disorders									
Differentialdiagnose von Rundherden nach Lungentransplantation	1105	or							
Prader-Labhart-Willi-Syndrom									
Prader-Labhart-Willi-Syndrom	974	fr							
Präexzitationssyndrom									
Klinische Bedeutung des Ajmalin-Tests in der nicht-invasiven Diagnostik bei Wolff-Parkinson-White-Syndrom	985	or							
Präkanzerosen									
Schistosomiasis und Siegelringzellkarzinom der Ileo-zökalklappe	1058	lz							
Prävention									
Akzidentelle Nadelstichverletzung bei medizinischem Pflegepersonal	1563	fr							
Antioxidantien	1135	fr							
Cholesterin-Normalwerte im Kindesalter	1371	fr							
Endoskopische Diagnostik zur Prävention und Früherkennung des kolorektalen Karzinoms	1001	adt							
HIV-Übertragung bei heterosexuellen Partnern	1805	km							
Indikationen zur Pestimpfung und -chemoprophylaxe	1714	fr							
Infektionsprophylaxe bei Dauerverweilkanülen	1017	fr							
Ist die Neurodermitis eine Krankheit der höheren sozialen Schichten?	1757	km							
Risiken der Sonnenexposition	1047	üb							
Solare Keratose und Sonnenschutzmittel	1223	km							
Vitamin D und Osteoporose. Pathogenese - Therapie	1479	üb							
Prednisolon									
Problematik des Äquivalenzbegriffes bei der Therapie mit Glucocorticoiden. Ein Vergleich der klinischen Pharmakokinetik und Pharmakodynamik von Prednisolon und Methylprednisolon	1671	üb							
Processus-transversus-Anomalien									
Neurologische Symptomatik, Diagnostik und Therapie des sogenannten »thoracic-outlet-syndrome«	1087	üb							

Progesterondermatitis	Autoimmune Progesterondermatitis	1258	fr	Proteinurie	Angiotensin-Converting-Enzym-Hemmer bei der Behandlung der diabetischen Nephropathie	1298	km	Pulmonalarteriendruck	Dopplerechokardiographie bei chronischer rechtsventrikulärer Druckbelastung	1061	or
Prognosedeterminanten	Adjuvante Therapie bei kolorektalen Karzinomen	1663	adt	Prothesenhüllendefekt; bei Mammaprothesen	Kernspintomographie bei Mammaprothesen. Aussagekraft im Vergleich mit Mammographie und Ultraschall	1453	or	Pylorusstenose	Pylorusstenose	1244	mq
	Derzeitiger Stellenwert der Laparoskopie in der onkologischen Chirurgie	1518	kom	Prothrombinfragment F₁₊₂	Orale Kontrazeption bei Protein-C-Mangel	1100	fr	Q			
	Rekanalisation langstreckiger Arteria-femoralis-Verschlüsse	1802	lz	Protonenpumpenhemmer	Omeprazol	1173	as	QT-Syndrom; idiopathisches	Idiopathisches QT-Syndrom (Romano-Ward-Syndrom)	1204	mq
	Tumorgefäßinvasion beim Mammakarzinom. Hämatoxilin-Eosin- versus immunhistochemische Färbung gegen Faktor-VIII-Antigen	1491	or		Therapie der gastroösophagealen Refluxkrankheit	1473	adt	Qualitätskontrolle	Ambulante Versorgung von Diabetikern	1056	lz
Prokinetika	Therapie der gastroösophagealen Refluxkrankheit	1473	adt	Pruritus	Interdisziplinäre Aspekte der Notalgia paraesthetica	1307	kas	Qualitätssicherung	ICD-Verschlüsselung und Pflege-Personalregelung	1412	lz
Proktologie	Diagnostik und Therapie des Analkarzinoms	1701	adt	PSA	(siehe Antigen; Prostataspezifisches)				Kostenvergleich zwischen der laparoskopischen Cholezystektomie und der extrakorporalen Stoßwellenlithotripsie in der Behandlung von Gallenblasensteinen	1532	or
Promyelozytenleukämie; akute	Komplette Remission bei akuter Promyelozytenleukämie. Vorteile von <i>all-trans</i> -Retinsäure im Vergleich mit konventioneller Chemotherapie	1143	or	Pseudoallergie	Unverträglichkeit der Tuberkulosetherapie bei AIDS	1728	kas	Quick-Wert	Ist die »International Normalized Ratio (INR)« in der klinischen Praxis unentbehrlich?	1529	la
Prophylaxe	Epidemiologie und Klinik der chronischen Virushepatitis	1365	üb	Pseudohypoparathyreoidismus	Hypocalcämische Kardiomyopathie als Ursache einer schweren Linksherzinsuffizienz	1270	kas	R			
	Indikationen zur Pestimpfung und -chemoprophylaxe	1714	fr		Hypocalcämische Kardiomyopathie als Ursache einer schweren Linksherzinsuffizienz (Berichtigung)	1414		Radikale; freie	Antioxidantien	1135	fr
Prostaglandinstoffwechsel	Erythromelalgie (Erythrothermalgie)	1039	mq	Psoriasis	Harnstoff in der Dermatologie	1126	üb		Pathophysiologie der Myokarddurchblutung. Teil II: Postischämische kontraktile Dysfunktion (»stunned«-Myokard)	1745	pp
Prostatakarzinom	Prostatakarzinom	1054	lz	Psychosen	Neuropsychiatrische Symptomatik bei primärem Hyperparathyreoidismus	1076	kas	Radiochemotherapie	Adjuvante Therapie bei kolorektalen Karzinomen	1663	adt
Prostatitis	Aktuelle Epidemiologie, Diagnostik und Therapie der Urogenitaltuberkulose	1121	adt	Psychosomatik	Erfassung von Angst und Depressivität in der medizinischen Routineversorgung	1283	adt		Diagnostik und Therapie des Analkarzinoms	1701	adt
Protein C; aktiviertes	Resistenz gegenüber aktiviertem Protein C	1680	km	Pubarche	Differenzierung zwischen prä-maturer Thelarche und Pubertas praecox anhand klinischer, hormoneller und radiologischer Befunde	1301	or	Radiotherapie; bei malignen Tumoren	Prostatakarzinom	1054	lz
Protein-C-Mangel	Orale Kontrazeption bei Protein-C-Mangel	1100	fr	Pubertas praecox	Differenzierung zwischen prä-maturer Thelarche und Pubertas praecox anhand klinischer, hormoneller und radiologischer Befunde	1301	or	Rashkind-Okkluder	Nicht-operativer Verschluss des Vorhofseptumdefektes bei Erwachsenen. Erfahrungen mit dem Rashkind- und dem Sideris-Okkluder	1341	or
Proteinkinase	Rolle von Endothelin bei den Ciclosporin-Nebenwirkungen Nephrotoxizität und arterielle Hypertonie	1706	üb					Raynaud-Syndrom; sekundäres	Endoskopische transthorakale Sympathektomie bei paraneoplastischem Raynaud-Syndrom	1162	kas

Rubrikenschlüssel

adt = Aktuelle Diagnostik und Therapie
 ar = Arztrecht
 as = Der Arzneistoff
 epi = Epikrise

fr = Fragen aus der Praxis
 gt = Gedenktage
 kas = Kasuistiken
 km = Kleine Mitteilungen
 kom = Kommentare

la = Leitartikel
 lz = Leser-Zuschriften
 mg = Medizingeschichte
 mq = Mediquiz
 nk = Nekrologe

or = Originalien
 pp = Prinzip & Perspektive
 stp = Standpunkte
 üb = Übersichten

Spiralcomputertomographie

Direkter Embolusnachweis durch Spiral-Computertomographie bei akuter Lungenembolie 1525 lz

Spondylodiszitis

Lumbale Spondylodiszitis durch Salmonella enteritidis 1383 kas

Sputumdiagnostik

Sputumuntersuchung zur Diagnostik der Pneumocystis-carinii-Pneumonie bei HIV-Infizierten 1151 or

Staging

(siehe Tumor-Staging)

Stammganglienverkalkungen

Calcitriol-Gabe in der Schwangerschaft bei partieller DiGeorge-Anomalie 1776 kas

Standby-Medikamente

Indikationen zur Pestimpfung und -chemoprophylaxe 1714 fr

Staroperation

Ambulante Kataraktoperationen 1486 fr

Statistisches Bundesamt; Mitteilungen

Kindersitz im Personenwagen bewährt sich 976 km
Tuberkuloseerkrankungen 1993 1185 km

Stellatumblockade

Endoskopische transthorakale Sympathektomie bei paraneoplastischem Raynaud-Syndrom 1162 kas

Stickstoffmonoxid

Gesteigerte vaskuläre Sensitivität auf Nitroglycerin bei Patienten mit Hypercholesterinämie und peripherer Endotheldysfunktion 1065 or

Stickstoffmonoxid-Synthase

Induktion der Stickstoffmonoxid(NO)-Synthase 1413 km

Stoßwellenlithotripsie; Extrakorporale

Kostenvergleich zwischen der laparoskopischen Cholezystektomie und der extrakorporalen Stoßwellenlithotripsie in der Behandlung von Gallenblasensteinen 1532 or

Strahlenbelastung

Britische Atomwaffentests der fünfziger und sechziger Jahre 1413 km

Streptokinase

(siehe Fibrinolyse)

Streptokokken; hämolysierende

Nehmen Infektionen durch hämolysierende Streptokokken der Gruppe A zu? 1336 lz

Streptolysin O

Persistierende Antistreptolysin-Titer 1099 fr

Streß; psychologischer

Müdigkeit und psychologischer Streß 1451 km

Struma multinodosa

Farbdopplersonographisch gesteuerte perkutane Alkoholinjektion zur Therapie der funktionellen Schilddrüsenautonomie 1607 or

Stunned Myokard

Pathophysiologie der Myokarddurchblutung. Teil II: Postischämische kontraktile Dysfunktion (»stunned«-Myokard) 1745 pp

Subarachnoidalblutungen

Subarachnoidalblutung 1322 mq

Sulcus-ulnaris-Syndrom

Neurologische Symptomatik, Diagnostik und Therapie des sogenannten »thoracic-outlet-syndrom« 1087 üb

Suramin

Polyneuritis und Myositis bei Trypanosoma-gambiense-Infektion 1690 kas

Sympathektomie

Endoskopische transthorakale Sympathektomie bei paraneoplastischem Raynaud-Syndrom 1162 kas

Syndrom; hepatorenales

Therapie des Aszites bei Lebererkrankungen 1549 adt

Syndrom; paraneoplastisches

Autoimmunprozesse als paraneoplastische Manifestationen bei familiärem Mammakarzinom 1194 kas

Das extrapulmonale kleinzellige Karzinom – eine Rarität? 1591 üb

Endoskopische transthorakale Sympathektomie bei paraneoplastischem Raynaud-Syndrom 1162 kas

Hyponatriämisches Koma 1139 lz

Syndrom

Diagnose eines Ullrich-Turner-Syndroms im Rentengutachten 1115 kas

Kallmann-Syndrom. Pathophysiologie und Klinik 1436 üb

Syndrom; neurokutane

Interdisziplinäre Aspekte der Notalgia paraesthetica 1307 kas

Synkinesien

Kallmann-Syndrom. Pathophysiologie und Klinik 1436 üb

Synoviadiagnostik

Nachweis von Borrelia-burgdorferi-DNA in der Gelenkflüssigkeit bei Lyme-Arthritis 1451 km

Syngom; chondroides

Sogenannter Mischtumour der Haut (chondroides Syndrom) 1471 mq

Syngomyelie

Syngomyelie als seltene Ursache einer beatmungspflichtigen respiratorischen Insuffizienz 1771 kas

T**Takayasu-Arteriitis**

Takayasu-Arteriitis 1801 fr

Tamoxifen

Östrogenantagonisten und Thromboseprophylaxe 1182 fr

Tannine

Gerbstoffe und Krebsrisiko 1411 fr

Tastkörperchen-Neurom

Digitales Tastkörperchen-Neurom 999 mq

Teekonsum

Gerbstoffe und Krebsrisiko 1411 fr

Template-Technik

Diagnostik und Therapie des Analkarzinoms 1701 adt

Teratogenität

Windpocken in der ersten Schwangerschaftshälfte 1527 km

Tests; psychometrische

Erfassung von Angst und Depressivität in der medizinischen Routineversorgung 1283 adt

Tetanus

Hohe Letalität von Tetanusinfektionen nach intramuskulärer Injektion von Chinin 1681 km

Thelarche; prämatüre

Differenzierung zwischen prämatürer Thelarche und Pubertas praecox anhand klinischer, hormoneller und radiologischer Befunde 1301 or

Thenaratrophy

Neurologische Symptomatik, Diagnostik und Therapie des sogenannten »thoracic-outlet-syndrom« 1087 üb

Therapie; photodynamische

Photodynamische Therapie eines Magenstumpfkarcinoms in kurativer Absicht. Erster Fallbericht einer klinischen Anwendung in Deutschland 951 kas

Thiazid

Einfluß einer niedrigdosierten Hydrochlorothiazidtherapie auf den Knochenmineralgehalt des axialen und peripheren Skeletts 1645 or

Thoracic-outlet-syndrome Neurologische Symptomatik, Diagnostik und Therapie des sogenannten »thoracic-outlet-syndrome«	1087	üb	Thrombozytopenie Neonatale Alloimmunthrombozytopenie	1512	üb	Tranquillizer Ambulante Behandlung von Schlafstörungen im Alter	1538	or
Thorakoskopie Methoden der interventionellen Pneumologie	1083	adt	Reversible Thrombozytopenie bei Digitoxinüberdosierung	1734	kas	Transcortin Problematik des Äquivalenzbegriffes bei der Therapie mit Glucocorticoiden. Ein Vergleich der klinischen Pharmakokinetik und Pharmakodynamik von Prednisolon und Methylprednisolon	1671	üb
Thoraxchirurgie; minimal-invasive Methoden der interventionellen Pneumologie	1083	adt	Thymushypoplasie Calcitriol-Gabe in der Schwangerschaft bei partieller DiGeorge-Anomalie	1776	kas	Transferrin Eisenmangelanämie	1403	pp
Thoraxschmerzen Akute Aortendissektion. Diagnose durch transthorakale Echokardiographie	1297	lz	Thyreotoxikose (siehe Hyperthyreose)			Transfusion (siehe Hämotherapie)		
Klinische und koronarangiographische Befunde bei Frauen mit Thoraxschmerzen	1337	km	Thyreotropin Latente Hyperthyreose	1334	fr	Transkriptase; reverse Klinische Bedeutung der Polymerase-Kettenreaktion in der Infektiologie	1625	adt
Thromben; intrakardiale Spontaner Echokontrast im linken Ventrikel als Indikator für ein erhöhtes Thromboembolie-Risiko	1317	kas	Neonatale Hyperthyreose bei nicht diagnostiziertem Morbus Basedow der Mutter. Probleme der Diagnostik und Therapie anhand einer Kasuistik	1346	kas	Transplantation Aufbau der Deutschen Knochenmarkspenderdatei	1359	adt
Thromboembolien Einsatz von niedermolekularem Heparin zur Antikoagulation in der Schwangerschaft	1497	kas	Tinea capitis Tinea capitis durch Microsporon canis	1357	mq	Kombinierte Nieren- und Pankreastransplantation beim diabetischen Spätsyndrom	1399	adt
Schrittmachertherapie beim Syndrom des kranken Sinusknotens. Senken vorhoffeteiligte Schrittmachersysteme die Häufigkeit von Vorhofflimmern und thromboembolischen Komplikationen sowie die Mortalität?	1683	or	Tiotropiumbromid Enzephalopathie nach Intoxikation mit einem Anticholinergikum	1803	lz	Psychosoziale Probleme bei Langzeitimmunsuppression nach Organtransplantation	1678	lz
Spontaner Echokontrast im linken Ventrikel als Indikator für ein erhöhtes Thromboembolie-Risiko	1317	kas	TIPS (siehe Shunt; transjugulärer intrahepatischer portosystemischer)			Sekundäre Neoplasien nach Immunsuppression	1747	üb
Thrombolysen (siehe Fibrinolyse)			Todesursachen Einfluß spontan niedriger und diätetisch-medikamentös gesenkter Cholesterinspiegel auf nicht-kardiovaskuläre Todesursachen	1597	kom	Transposition; kardialer Arterien Kongenital korrigierte Transposition der großen Arterien im Erwachsenenalter. Wert nicht-invasiver Untersuchungsmethoden	1156	kas
Thrombophilie Orale Kontrazeption bei Protein-C-Mangel	1100	fr	Torsade de pointes Sotalol	1477	as	Tränensekretion Sicca-Symptomatik unter systemischer Therapie mit Beta-Rezeptorenblockern	1783	adt
Thromboplastinzeit Ist die »International Normalized Ratio (INR)« in der klinischen Praxis unentbehrlich?	1529	la	Touristikmedizin Gnathostomiasis nach Aufenthalt in Thailand	1618	kas	Treitz-Hernie Möglichkeiten der laparoskopischen Therapie innerer Hernien. Darstellung an drei Fällen	1199	kas
Thrombosen; venöse Resistenz gegenüber aktiviertem Protein C	1680	km	Larva migrans cutanea (»creeping eruption«)	1505	mq	Tretinoin Komplette Remission bei akuter Promyelozytenleukämie. Vorteile von <i>all-trans</i> -Retinsäure im Vergleich mit konventioneller Chemotherapie	1143	or
Thromboseprophylaxe Östrogenantagonisten und Thromboseprophylaxe	1182	fr	Polyneuritis und Myositis bei Trypanosoma-gambiense-Infektion	1690	kas	Trinkwasserfluoridierung Akute Vergiftung durch fluoridiertes Trinkwasser	1185	km
Thrombozytensubstitution Rationale Substitution mit Blut- und Blutbestandteilkonserven	1555	üb	Therapie kutaner und mukokutaner Leishmaniosen	1169	adt	Tripel-Therapie Ist die Ulcuskrankheit eine Infektionskrankheit?	1488	km
			Toxoplasmose; konnatale Diagnostik und Therapie der konnatalen Toxoplasmose	1335	lz			
			Tracheobronchitis; akute Isolierung von Chlamydia pneumoniae bei atypischer Pneumonie	1462	kas			
			Training; körperliches Fettarme Diät und körperliches Training bei koronarer Herzkrankheit	1017	lz			

Rubrikenschlüssel

adt = Aktuelle Diagnostik und Therapie
ar = Arztrecht
as = Der Arzneistoff
epi = Epikrise

fr = Fragen aus der Praxis
gt = Gedenktage
kas = Kasuistiken
km = Kleine Mitteilungen
kom = Kommentare

la = Leitartikel
lz = Leser-Zuschriften
mg = Medizingeschichte
mq = Mediquiz
nk = Nekrologe

or = Originalien
pp = Prinzip & Perspektive
stp = Standpunkte
üb = Übersichten

Trisomie 21									
Indikation zur Amniozentese bei über 35jährigen Schwangeren aufgrund von Serummarkern	1413	km							
Tropenkrankheiten									
Schistosomiasis und Siegelringzellkarzinom der Ileo-zökalklappe	1058	lz							
Tropheryma whippelii									
Nachweis von Tropheryma whippelii mit der Polymerase-Kettenreaktion vor und nach Therapie eines Morbus Whipple	1679	lz							
Troponin									
Die klinische Bedeutung der Konzentrationsbestimmung der Troponine	1013	la							
Trypanosomiasis									
Polyneuritis und Myositis bei Trypanosoma-gambiense-Infektion	1690	kas							
TSH									
(siehe Thyreotropin)									
TSH-Rezeptor-Autoantikörper									
Neonatale Hyperthyreose bei nicht diagnostiziertem Morbus Basedow der Mutter. Probleme der Diagnostik und Therapie anhand einer Kasuistik	1346	kas							
Tuberkulin-Hauttests									
Aktuelle Epidemiologie, Diagnostik und Therapie der Urogenitaltuberkulose	1121	adt							
Tuberkulose									
Tuberkuloseerkrankungen 1993	1185	km							
Unverträglichkeit der Tuberkulosetherapie bei AIDS	1728	kas							
Tuberkulose; extrapulmonale									
Aktuelle Epidemiologie, Diagnostik und Therapie der Urogenitaltuberkulose	1121	adt							
Baker-Zyste bei osteoartikulärer Tuberkulose des Kniegelenks	1579	kas							
Baker-Zyste bei osteoartikulärer Tuberkulose des Kniegelenks (Berichtigung)	1806								
Endoskopische Diagnose einer Kolontuberkulose	1653	kas							
Ösophago-mediastinale Fisteln als seltene Komplikation der Tuberkulose bei einem HIV-infizierten Patienten	1613	kas							
Tuberkulostatika									
(siehe Antituberkulotika)									
Tumorantigene									
Das extrapulmonale kleinzellige Karzinom – eine Rarität?	1591	üb							
Tumorchirurgie									
Tumorverkleinerung im Stadium M1?	1564	fr							
Tumoren; an der Hand									
Differentialdiagnose knotiger Tumoren an der Hand	1101	lz							
Tumor-Gefäß-Interaktion									
Pathologie der Pulmonalarterien bei Lungentumoren	1415	or							
Tumorgefäßinvasion									
Tumorgefäßinvasion beim Mammakarzinom. Hämatoxylin-Eosin- versus immunhistochemische Färbung gegen Faktor-VIII-Antigen	1491	or							
Tumorschmerzen									
Schmerzbehandlung bei ambulanten Patienten mit metastasierendem Karzinom	1223	km							
Tumor-Staging									
Derzeitiger Stellenwert der Laparoskopie in der onkologischen Chirurgie	1518	kom							
Tumorverkleinerung									
Tumorverkleinerung im Stadium M1?	1564	fr							
Turner-Syndrom									
Diagnose eines Ullrich-Turner-Syndroms im Rentengutachten	1115	kas							
T-Zell-Lymphom; pleomorphes									
Hochmalignes peripheres T-Zell-Lymphom vom großzelligen polymorphen Typ	1321	mq							
U									
Ulcerkrankheit									
Ist die Ulcerkrankheit eine Infektionskrankheit?	1488	km							
Modifizierter ¹³ C-Atemtest in der Diagnostik der Helicobacter-pylori-Besiedlung der gastralen Mucosa	1569	or							
Omeprazol	1173	as							
Ullrich-Turner-Syndrom									
Diagnose eines Ullrich-Turner-Syndroms im Rentengutachten	1115	kas							
Ultraviolettstrahlung									
Risiken der Sonnenexposition	1047	üb							
Umweltschadstoffe									
(siehe Enviroentologie)									
Unfallverhütung									
Kindersitz im Personewagen bewährt sich	976	km							
Schutzhelme für radfahrende Kinder	1021	km							
Universal-Spenderblut									
Universal-Spenderblut	1019	lz							
Urease-Test									
Modifizierter ¹³ C-Atemtest in der Diagnostik der Helicobacter-pylori-Besiedlung der gastralen Mucosa	1569	or							
Urikostatikum									
Allopurinol	1045	as							
Urogenitaltuberkulose									
Aktuelle Epidemiologie, Diagnostik und Therapie der Urogenitaltuberkulose	1121	adt							
Überdruckbeatmung; kontinuierliche nasale									
Morbidität und Letalität bei Schlafapnoe und nächtlichen Bradyarrhythmien	1187	or							
Übergewicht									
(siehe Adipositas)									
V									
Varizella-Zoster-Virus									
Windpocken in der ersten Schwangerschaftshälfte	1527	km							
Wirksamkeit von Aciclovir und Glucocorticoiden in der Behandlung des Herpes zoster und postzosterischer Neuralgien	1526	km							
Varizellen-Syndrom; kongenitales									
Windpocken in der ersten Schwangerschaftshälfte	1527	km							
Vasektomie									
Hodenkrebsrisiko nach Vasektomie	1757	km							
Vaskulitis									
Churg-Strauss-Syndrom oder chronische eosinophile Pneumonie?	1565	lz							
Hepatitis-B-assoziierte Vaskulitis. Verlauf unter Therapie mit Glucocorticoiden und Alpha-Interferon	1388	kas							
Maligne atrophische Papulose	1427	kas							
Vaskulitis; ANCA-assoziierte									
Einseitige diffuse Lungenbeteiligung bei Vaskulitis mit Anti-Neutrophilen-Zytoplasma-Antikörpern sowie Antikörpern gegen glomeruläre Basalmembranen	1071	kas							
Vasodilatation									
Gesteigerte vaskuläre Sensitivität auf Nitroglycerin bei Patienten mit Hypercholesterinämie und peripherer Endotheldysfunktion	1065	or							
Vasokonstriktion; postinspiratorische									
Dopplersonographie peripherer Arterien bei tiefer Inspiration zur Überprüfung der sympathischen Gefäßinnervation	1567	km							
Vasomotion									
Angina pectoris und normales Koronarangiogramm bei arterieller Hypertonie und linksventrikulärer Hypertrophie	1175	üb							

Vasospastik			Vitamin D und Osteoporose. Pathogenese – Therapie	1479	üb		X	
Akute Ischämie eines Armes als ungewöhnlicher Ausdruck eines Ergotismus	1501	kas						
Endoskopische transthorakale Sympathektomie bei paraneoplastischem Raynaud-Syndrom	1162	kas	Vitamin E Antioxidantien	1135	fr	Xanthinoxidase-Inhibitor Allopurinol		1045 as
Vater-Pacini-Tastkörperchen			Volvulus; des Magens Behandlung eines intermittierenden Magenvolvulus durch Gastropexie mittels perkutaner endoskopischer Gastrostomie	1658	kas	Xerostomie Sicca-Symptomatik unter systemischer Therapie mit Beta-Rezeptorenblockern		1783 adt
Digitales Tastkörperchen-Neurom	999	mq	Vorhofseptumaneurysma (siehe Aneurysma; des Vorhofseptums)				Y	
Venenkatheter			Vorhofseptumdefekt Nicht-operativer Verschluss des Vorhofseptumdefektes bei Erwachsenen. Erfahrungen mit dem Rashkind- und dem Sideris-Okkluder	1341	or	Yersinia pestis Indikationen zur Pestimpfung und -chemoprophylaxe		1714 fr
Hautdesinfektion vor der Blutentnahme	1182	fr					Z	
Infektionsprophylaxe bei Dauerverweilkanülen	1017	fr						
Ventrikelseptumdefekt								
Großer subaortaler Ventrikelseptumdefekt	1583	mq						
Verletzungen; bei Radfahrern			W			Zidovudin Akzidentelle Nadelstichverletzung bei medizinischem Pflegepersonal		1563 fr
Schutzhelme für radfahrende Kinder	1021	km	Wachstumsfaktoren Therapie einer Clozapin-induzierten Agranulozytose mit granulozytenkolonie-stimulierendem Faktor	1467	kas	Zidovudin bei asymptomatischen HIV-Patienten?		1374 km
Verschreibungspraxis			Wasserhaushalt Glomeruläre Hyperperfusion und Niereninsuffizienz	1136	fr	Zollinger-Ellison-Syndrom Omeprazol		1173 as
Ambulante Behandlung von Schlafstörungen im Alter	1538	or	Therapie des Aszites bei Lebererkrankungen	1549	adt	Zystendrainage; bei Pankreaspseudozysten ERCP bei bekannter Pankreaspseudozyste		1755 fr
Versorgung; ambulante ärztliche			Wärmebehandlung Therapie kutaner und mukokutaner Leishmaniosen	1169	adt	Zystenruptur Rupturgefahr bei Nierenzysten		1486 fr
Ambulante Versorgung von Diabetikern	1056	lz	Whipple-Operation Pyloruserhaltung – »a never ending story«	1372	lz	Zystitis Aktuelle Epidemiologie, Diagnostik und Therapie der Urogenitaltuberkulose		1121 adt
Verweilkanülen			Wirbelkörperfrakturen Asymptomatischer primärer Hyperparathyreoidismus. Behandeln oder beobachten?	967	üb	Zytokine Aktueller Stand der Behandlung chronischer Virushepatitiden mit rekombinantem Interferon alpha		961 adt
Infektionsprophylaxe bei Dauerverweilkanülen	1017	fr	Osteoporose bei Männern. Pathogenese und klinische Einteilung bei 254 Fällen	943	or	Induktion der Stickstoffmonoxid(NO)-Synthese		1413 km
Virostatika			Wolff-Parkinson-White-Syndrom Adenosintriphosphat (ATP) bei supraventrikulären Tachykardien im Neugeborenen- und Säuglingsalter	1351	kas	Zytostatika Sekundäre Neoplasien nach Immunsuppression		1747 üb
Zidovudin bei asymptomatischen HIV-Patienten?	1374	km	Klinische Bedeutung des Ajmalin-Tests in der nicht-invasiven Diagnostik bei Wolff-Parkinson-White-Syndrom	985	or	Zytostatikaresistenz Pathologie der Pulmonalarterien bei Lungentumoren		1415 or
Virusinaktivierungsverfahren								
Rationale Substitution mit Blut- und Blutbestandteilkonserven	1555	üb						
Vitamin-A-Derivate								
Komplette Remission bei akuter Promyelozytenleukämie. Vorteile von <i>all-trans</i> -Retinsäure im Vergleich mit konventioneller Chemotherapie	1143	or						
Vitamin C								
Antioxidantien	1135	fr						
Vitamin-D-Substitution								
Hypocalcämische Kardiomyopathie als Ursache einer schweren Linksherzinsuffizienz	1270	kas						
Hypocalcämische Kardiomyopathie als Ursache einer schweren Linksherzinsuffizienz (Berichtigung)	1414							

Rubrikenschlüssel

adt = Aktuelle Diagnostik und Therapie
ar = Arztrecht
as = Der Arzneistoff
epi = Epikrise

fr = Fragen aus der Praxis
gt = Gedenktage
kas = Kasuistiken
km = Kleine Mitteilungen
kom = Kommentare

la = Leitartikel
lz = Leser-Zuschriften
mg = Medizingeschichte
mq = Mediquiz
nk = Nekrologe

or = Originalien
pp = Prinzip & Perspektive
stp = Standpunkte
üb = Übersichten

Autorenregister

A		D										
Adamek, R. J.	1569	or	Dalhoff, K.	1462	kas	Fisseler-Eckhoff,	1415	or	Harf, P.	1359	adt	
	1653	kas	Damian, M. S.	1690	kas	Annette			Harms, D.	1346	kas	
Alfke, H.	1802	lz	Daul, A. E.	1263	or	Flachskampf, F. A.	1006	üb	Harnoncourt, K.	1061	or	
Altenwerth, F. J.	1658	kas	de Leon, F.	1431	mq	Flepp, M.	1374	km	Hatz, C.	1169	adt	
Altermatt, J.	1194	kas	Degenhardt, S.	1421	kas	Föh, K. P.	1270	kas	Hauber, J.	1683	or	
Andersch-	975	lz	Dekan, G.	1105	or	Frank, U.	1017	fr	Hauner, H.	1056	lz	
Borchert, I.			Delius, W.	1029	kas		1182	fr	Hauschild, A.	1047	üb	
Andrassy, K.	994	kas	Derendorf, H.	1671	üb	Franke, S.	1006	üb	Hautmann, H.	1613	kas	
Anelli-Monti,	1061	or	Dertinger, S.	990	kas	Freissmuth, M.	1135	fr	Hayoz, D.	1065	or	
Brigitte			Diekstall, F. F.	1393	kas	Freitag, Maren	1569	or	Heftner, H.	1421	kas	
Antoni, D.	1029	kas	Diener, H. C.	1639	lz	Freundenberg, J.	1297	lz	Hehlmann, R.	1143	or	
Arns, W.	1135	fr	Diesfeld, H. J.	975	lz	Friese, K.	1335	lz	Heinke, M.	1405	üb	
Aumiller, J.	1427	kas	Dingerkus, H.	1585	adt	Frost, D.	1225	or	Heintges, T.	1365	üb	
Aygen, S.	1569	or	Ditton, H. J.	1679	lz	G						
B												
Baldt, M.	1312	kas	Dißmann, R.	1585	adt	Genée, P.	1771	kas	Heinz, Renate	1487	lz	
	1453	or	Dobos, G. J.	1071	kas	Geppert, R.	1156	kas	Helbich, T.	1105	or	
Baron, R.	1162	kas	Dörner, Renate	1019	lz	Gerbes, A. L.	1509	adt	Helmstädter, V.	1058	lz	
Barth, J.	1671	üb	Dörr, H. G.	1346	kas		1549	adt	Hengstler, J. G.	1747	üb	
	1783	adt		1776	kas	Gessler, P.	1351	kas	Hennemann, O.	1569	or	
Bauermeister, G.	1199	kas	Dohmen, A.	1639	lz	Giokoglu, K.	1766	or	Hensen, J.	1776	kas	
Becker, W.	1346	kas	Dohrmann, P.	1701	adt	Girndt, M.	1323	adt	Henze, T.	1248	üb	
Behre, H. M.	1436	üb	Donic, J. M.	1701	adt	Gleichmann, U.	1110	kas	v. Herbay, A.	1679	lz	
Beischer, W.	1225	or	Dorfmueller, P.	1307	kas	Glück, Dorothee	1643	km	v. Herbay,	1041	adt	
Benninger, J.	1532	or	Dorsch, W.	1690	kas	Glück, T.	1388	kas	Alexandra			
Berg, P. A.	1639	lz	Dorsch, W.	974	fr	Glüer, C. C.	1645	or	Herrmann, C.	1283	adt	
Berg, T.	961	adt	Dorst, A. J.	943	or	Görge, G.	1034	kas	Herrmann, R.	1235	kas	
Berger, M.	1298	km	Dralle, H.	1721	or	Golder, W.	1501	kas	Hertle, L.	1327	üb	
Beuckelmann, D.	1800	fr	Drexler, H.	1065	or	Goldschmidt, H.	1287	pp	Herzig, S.	1477	as	
Beyer, J.	976	km		1448	fr		1403	pp	Hetzler, R.	1276	kas	
Beyer, T.	1477	as	Drochner, U.	1000	mq		1071	kas	Heuft, H.-G.	961	adt	
v. Birgelen, C.	1034	kas		1322	mq	Gondolf, K. B.	951	kas	Heusch, G.	1589	pp	
Blank, W.	1607	or		1398	mq	Gossner, L.	1421	kas		1745	pp	
Blomhard, G.	1421	kas	Dumoulin, F. L.	1239	kas	Grabensee, B.	1105	or	Heuser-Link, M.	1076	kas	
Blum, H. E.	1792	kom	E				Grabenwöger, M.	1728	kas	Heyen, S.	1597	kom
Blum, J.	1169	adt	Ebel, H.	1399	adt	Grassot, Annegret	1399	adt	Hild, Frauke	1143	or	
Boden, H.	1405	üb	Eberli, F.	1543	kas	Greger, B.	1115	kas	Hinkel, K.	974	fr	
Bodenseh, Anne	1565	lz	Ebert, A.	1359	adt	Greiwe, M.	1543	kas	Hittmair, K.	1453	or	
Böckenförde, J. B.	1645	or	Eckersberger, F.	1312	kas	Greminger, P.	1613	kas	Hochhaus, G.	1671	üb	
Böhner, H.	979	or	Ehlenz, K.	1573	kas	Greten, T.	1183	lz	Hoelzer, D.	1359	adt	
Bojanovski, D.	1393	kas	Ehninger, G.	1359	adt	Griese, H.	1301	or		1637	fr	
Bokemeyer, D.	1706	üb	Eisele, R.	1683	or	Grimm, W.	1071	kas	Höper, Kirsten	1776	kas	
Bong, J.	1579	kas	Elbert, Gabriele	1643	km	Grotz, W.	999	mq	Hofgärtner, F.	1683	or	
Bordel, H.	1167	mq	Ell, C.	951	kas	Grouls, V.	1471	mq	Hofmann, M.	1766	or	
Brambs, H. J.	1333	fr		990	kas		1623	mq	Hohlbach, G.	1579	kas	
Braun, B.	1607	or		1532	or	Gruner, U.	1467	kas	Hohlfeld, R.	1371	fr	
Bräuninger, W.	1219	fr	End, Adelheid	1105	or	Gschwantler, M.	1139	lz	Holstege, A.	1245	adt	
v. Breska, B.	1317	kas	Engeroff, B.	1721	or	H						
Bruch, C.	1317	kas	Ensslen, R.	1341	or	Haas, N.	1053	mq	Holubarsch, C.	1804	km	
Bruch, T.	1526	km		1458	or		1121	mq	Hopf, U.	961	adt	
Brühl, P.	1121	adt	Erbel, R.	1101	lz		1204	mq	Hopfinger-	1487	lz	
Bruhn, H. D.	1100	fr	Erdmann, E.	1630	üb		1432	mq	Limberger, G.			
Brune, S.	1183	lz	Everlien, M.	1110	kas		1548	mq	Hoppe, Uta	1630	üb	
Brunner, H. R.	1065	or	Evers, J.	1281	mq		1583	mq	Hoppen, T.	1431	mq	
Büchler, M. W.	1739	adt	Ewig, S.	1296	fr		1662	mq	Hornig, B.	1065	or	
Bünthe, S.	1555	üb	F				1782	fr	Horny, H. P.	1694	kas	
Burg, S.	956	kas	Faber, T.	1786	üb		1782	fr	Horst, J.	1436	üb	
Burkardt, H.	1690	kas	Fabry, W.	1034	kas	Haas, N. A.	1351	kas	Horstkotte, D.	1023	or	
Buss, U.	1283	adt	Fallen, H.	1716	lz	Haase, D.	1143	or	Huber, C.	1747	üb	
Busse, O.	1183	lz	Faßbender, D.	1110	kas	Habermehl, P.	1301	or	Huber, R. M.	1613	kas	
C						Hächler, I.	1759	or	Hürter, T.	1083	adt	
Calderoni, A.	1194	kas	Federmann, G.	1184	lz	Hänseler, T.	1156	kas	Huhn, D.	961	adt	
Carlsson, J.	1183	lz		1199	kas	Hafner, G.	1497	kas	Hummel, M.	1276	kas	
Cidlinsky, K.	990	kas		1137	lz	Hahn, E. G.	951	kas	Hunze, R.	1603	lz	
Classen, M.	1755	fr	Federmann, M.	1115	kas		990	kas	Hurwitz, N.	1235	kas	
Costabel, U.	1565	lz	Fehm, H. L.	1056	lz	Hallauer, W.	1056	lz				
Czarnetzki,	1053	fr	v. Ferber, L.	1056	lz	Hamm, H.	1020	km	Ibers, H.	948	or	
Beate M.			Feussner, H.	1518	kom	Hanrath, P.	1006	üb	Igler, C.	1000	mq	
Czerwenka, K.	1491	or	Fischer, H. P.	1239	kas	Hansen, Ulrike	1231	kas		1322	mq	
			Fischer, M.	1289	üb	Harb, S.	1061	or	Imhof, H.	1453	or	
						Harbrecht, Ursula	1680	km	Ippen, H.	1803	lz	
						Hardinghaus, W.	1167	mq				

Diagnostik des Aszites*

A. L. Gerbes und G. Paumgartner

Medizinische Klinik II, Klinikum Großhadern der Universität München

Diagnose

Anamnese und Inspektion des Patienten können oft bereits eindrückliche Hinweise auf das Vorhandensein von Aszites und dessen Genese liefern. Weitere Untersuchungsbefunde können auf Aszites hindeuten: periphere Ödeme, Leberhautzeichen, Kollateralvenen an der Bauchwand, Bauchwandhernien. Um Aszites bei der körperlichen Untersuchung zu entdecken, kann man sich verschiedener Manöver bedienen wie Flankendämpfung und wandernde Dämpfungsgrenze bei Seitenlagerung, wandernde Flüssigkeitsschicht bei periumbilikale Dämpfung bei Knie-Ellenbogen-Lage des Patienten. Insbesondere bei Patienten mit gering ausgeprägtem Aszites hat die Methode der wandernden Dämpfungsgrenze (**Abb. 1**) eine Sensitivität von über 80% (3). Diese Untersuchungsmethode weist jedoch einen beträchtlichen Anteil falsch-positiver Ergebnisse auf, die die Spezifität auf etwa 60% begrenzen. Als Goldstandard zur Aszitesdiagnose gilt die Ultraschalluntersuchung des Abdomens, die der Abdomenübersichtsaufnahme deutlich überlegen ist. Computertomographisch können kleinste Mengen von Aszites nachgewiesen werden, dies ist allerdings meist ein Nebenfund und nicht die Indikation zur Untersuchung. Sonographisch lassen sich in Rechts-Seiten-Lage bereits 300 ml Aszites feststellen (11). Bei der Ultraschalluntersuchung erkennt man auch die oft assoziierten Pleura- und Perikardergüsse. Die Sonographie kann des weiteren Hinweise auf die Genese des Aszites liefern, durch Darstellung von Veränderungen der Leber, Umgehungskreisläufen oder intraabdominellen Tumoren.

Bei Nachweis eines Aszites mit klinischen und (oder) technischen Verfahren, muß die Ursache geklärt werden. In Deutschland sind Leberzirrhose und Peritonealkarzinose die häufigsten Ursachen einer intraperitonealen Flüssigkeitsansammlung. Seltener sind primäre Leberzellkarzinome oder Lebermetastasen ohne Peritonealkarzinose sowie nicht-maligne Erkrankungen wie Herzinsuffizienz, Pankreatitis, Budd-Chiari-Syndrom, Tuberkulose, Leberventrombose, akute Virushepatitis, Fettleberhepatitis oder schwere Hypalbuminämie. Von therapeutischer Konsequenz ist die Differenzierung zwischen Aszites bei malignen und

nicht-malignen Grunderkrankungen sowie von infiziertem und nicht-infiziertem Aszites. Hier können häufig Anamnese, körperliche Untersuchung und bildgebende Verfahren diagnostisch hilfreich sein. Zumeist aber, insbesondere bei der Erstdiagnose, wird man weitere Aufschlüsse durch die Untersuchung der Aszitesflüssigkeit selbst gewinnen wollen. Bei fachgerechter Durchführung (sterile Bedingungen, dünne Nadel) geht die diagnostische Aszitespunktion nur sehr selten mit Komplikationen wie Blutung oder Infektion einher (13).

Differenzierung von Aszites bei malignen und nicht-malignen Grunderkrankungen

An erster Stelle steht die zytologische Untersuchung des Aszitespunktats. Falsch-positiv Befunde sind äußerst selten. Allerdings ist die Sensitivität eingeschränkt und wurde in verschiedenen Untersuchungen nur mit 40–70% angegeben (8, 23, 30, 33). Daher wurde nach anderen differentialdiagnostischen Parametern im Aszites gesucht. Die weiteste Verbreitung hat dabei unter der Vorstellung eines peritonealen Transsudates bei benignen und Exsudates bei malignen Erkrankungen die Bestimmung des Gesamteiweißgehaltes gefunden (21, 26, 28). Zwar weist die Aszitesflüssigkeit bei malignen Grunderkrankungen meist höhere Proteinkonzentrationen auf als bei benignen, was mit den üblichen Diskriminationswerten von 2,5 g/100 ml oder 3 g/100 ml in bis zu 80%iger Sensitivität und Spezifität resultiert. Dennoch gibt es beträchtliche Überlappungen bei beiden Gruppen, und deshalb wurden andere, differentialdiagnostisch leistungsfähigere Parameter der Aszitesflüssigkeit gesucht. Verschiedene Autoren untersuchten dabei Lactatdehydrogenase (LDH), carcinoembryonales Antigen (CEA) oder die Quotienten aus Aszites- und Serumkonzentrationen von LDH bzw. Gesamteiweiß (2, 5, 12, 19, 22, 29). Ein hoher differentialdiagnostischer Wert wurde dem Albumingradienten (die Differenz der Konzentrationen von Albumin im Serum und Aszites) sowie den Konzentrationen von Fibronectin (4, 25, 29) und Cholesterin (15, 16, 20, 25) im Aszites zugeschrieben (18, 22). In einer prospektiven Studie wurden un- längst Albumingradient, Cholesterin, Fibronectin, LDH,

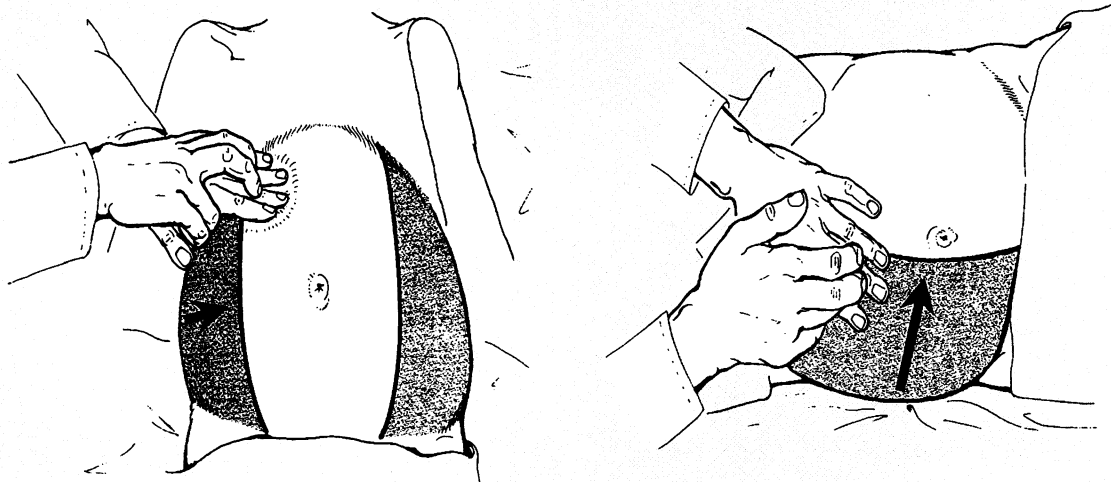


Abb. 1 Körperliche Untersuchung zur Entdeckung von Aszites. Bei Seitenlagerung des Patienten steigt die durch Aszites bedingte Flankendämpfungsgrenze an.

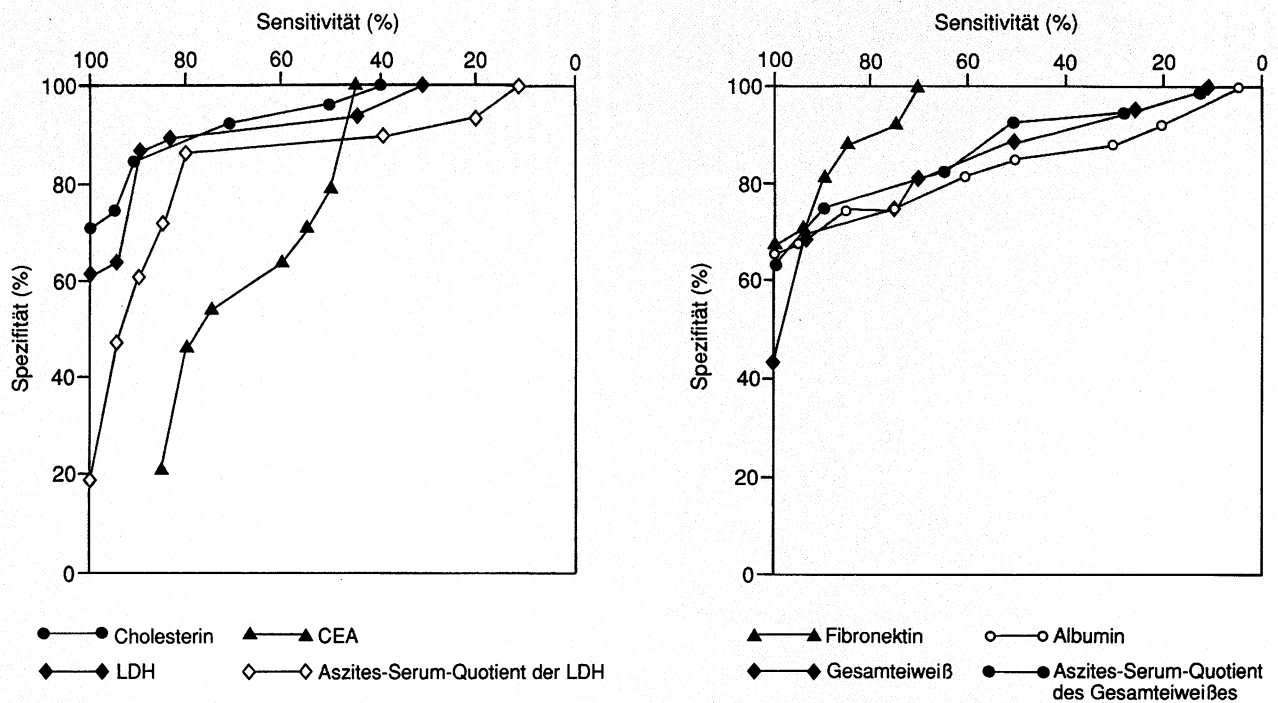


Abb. 2 Differentialdiagnostische Leistungsfähigkeit verschiedener Parameter der Aszitesflüssigkeit (nach 9). Die »receiver-operator«-Kurven zeigen Sensitivität und Spezifität bei verschiedenen Grenzwerten an (6). Dargestellt sind die jeweils korrespondierenden Werte von Sensitivität und Spezifität für Cholesterin, carcinoembryonales Antigen (CEA), Lactatdehydrogenase, Aszites-Serum-Quotient von LDH (links) sowie für Fibronektin, Albumingradient, Gesamteiweiß und Aszites-Serum-Quotient von Gesamteiweiß (rechts). Es wurden Aszitesproben von 48 Patienten untersucht (28 mit nicht-maligner, 20 mit maligner Grundkrankheit). Je näher die Kurve dem linken oberen Eck kommt, um so größer ist der differentialdiagnostische Wert des betreffenden Parameters.

Tab. 1 Differentialdiagnostischer Wert von Parametern der Aszitesflüssigkeit (maligne oder nicht-maligne Grundkrankheit). Untersucht wurde Aszites von 105 Patienten (69 mit Aszites bei nicht-maligner und 36 bei maligner Grundkrankheit) (nach 10)

	Gesamteiweiß	Cholesterin	Zytologie
Diskriminationswert	3 g/dl	45 mg/dl	
Sensitivität (%)	64	83	53
Spezifität (%)	77	81	100
positiver Vorhersagewert (%)	60	70	100
negativer Vorhersagewert (%)	77	90	73
Effizienz (%)	72	82	82

CEA, Gesamteiweiß im Aszites sowie die Aszites-Serum-Quotienten von LDH bzw. Gesamteiweiß im Aszites verglichen (9). Mit Hilfe geeigneter »cut-off«-Werte konnten Sensitivität und Spezifität der verschiedenen Parameter errechnet werden (Abb. 2). Cholesterin und Fibronektin wiesen den größten differentialdiagnostischen Wert auf; sie waren deutlich besser als Gesamteiweiß. Das bestätigte eine prospektive Untersuchung bei 105 Patienten (Tab. 1). Da die Fibronektinbestimmung technisch aufwendiger (Radioimmundiffusion) und teurer ist, hat sich für den Routinegebrauch weitgehend die Cholesterinbestimmung durchgesetzt. Die Erhöhung des Aszites-Cholesterins bei Peritonealkarzinose ist hauptsächlich durch eine erhöhte Peritonealpermeabilität mit einer vermehrten Diffusion von HDL- und LDL-Cholesterin aus dem Plasma in den Aszites bedingt (17).

Zwei Untergruppen von Patienten verursachen bei der Klassifikation besondere Probleme. Patienten mit »nicht-malignem Aszites« ohne Leberzirrhose (zum Beispiel Pankreatitis, Budd-Chiari-Syndrom, systemischer Lupus erythematosus, peritoneale Tuberkulose) und Patienten mit »malignem Aszites« ohne Peritonealkarzinose (hepatozelluläres Karzinom oder Lebermetastasen). Die richtige Zuordnung dieser Aszitesproben bereitet, wohl aufgrund eines unterschiedlichen Pathomechanismus der Aszitesgenese (teils exsudativ bei den nicht-zirrhotischen nicht-malignen Erkrankungen und transsudativ bei den malignen Erkrankungen ohne Peritonealkarzinose) größere Schwierigkeiten. Möglicherweise kann bei diesen Patienten die Bestimmung von β -humanem Choriongonadotropin im Aszites differentialdiagnostisch weiterführen (10, 14).

Die CEA-Konzentration und die zytologische Untersuchung wiesen in der genannten Arbeit (9) als einziger Parameter eine Spezifität und einen positiven Vorhersagewert von 100% auf. Durch die Kombination zweier so spezifischer Parameter kann deren Sensitivität gesteigert werden. So erzielte die Kombination von Zytologie und CEA (also Annahme eines malignen Aszites, wenn Zytologie positiv und [oder] CEA > 2,5 ng/ml) eine Sensitivität von 80%, verglichen mit 70% (Zytologie alleine) bzw. 45% (CEA alleine) (9).

Basierend auf diesen Beobachtungen wurde ein diagnostischer Algorithmus entwickelt mit Cholesterin als sensitivem und der Kombination von Zytologie und CEA als spezifischem Parameter (Abb. 3).

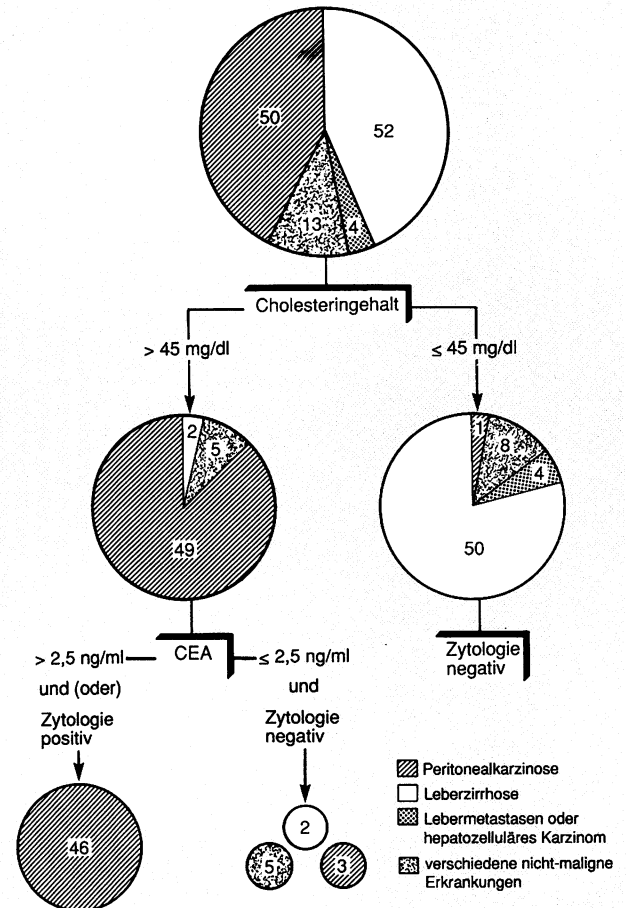


Abb. 3 Diagnostischer Algorithmus. Klassifizierung von 119 Patienten: 65 mit nicht-malignem Aszites (Leberzirrhose: n = 52, verschiedene andere nicht-maligne Erkrankungen: n = 13) und 54 mit malignem Aszites (Peritonealkarzinose: n = 50, Lebermetastasen oder hepatozelluläres Karzinom: n = 4). Zunächst wurde der Cholesteringehalt des Aszites als sensitiver Marker bestimmt, danach die Kombination der spezifischen Marker Zytologie und carcinoembryonales Antigen (CEA).

Insgesamt wurden 119 Patienten untersucht, 65 mit Aszites bei nicht-maligner Grundkrankheit und 54 mit Aszites bei Malignom. Nur einer von 50 Patienten mit Peritonealkarzinose wies eine Cholesterinkonzentration unter 45 mg/dl auf. Allerdings war hier die zytologische Untersuchung ebenfalls negativ. 50 von 52 Patienten mit Leberzirrhose, alle vier Patienten mit Lebermetastasen bzw. hepatozellulärem Karzinom ohne Peritonealkarzinose und acht von 13 Patienten mit verschiedenen nicht-malignen Erkrankungen wiesen ebenfalls eine Cholesterinkonzentration unter 45 mg/dl auf. 56 Patienten hatten eine Aszites-Cholesterinkonzentration über 45 mg/dl (49 von 50 mit Peritonealkarzinose, 2 von 52 mit Leberzirrhose und 5 von 13 mit verschiedenen nicht-malignen Erkrankungen). Beim Vorgehen nach dem genannten Schema können daher über 90% der Aszitesproben korrekt zugeordnet werden. Bei den verbleibenden Patienten, bei denen sich eine Diskrepanz zwischen der Cholesterinbestimmung und der Kombination Zytologie/CEA ergibt, müssen weitere Untersuchungen, zum Beispiel bildgebende Verfahren, durchgeführt werden.

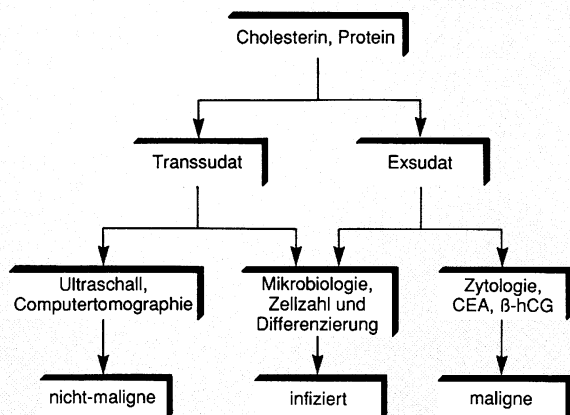


Abb. 4 Vorgehen zur Differentialdiagnose des Aszites. Bei niedrigen Cholesterin- bzw. Proteinkonzentrationen ist nach Ausschluß von Lebermetastasen oder hepatozellulärem Karzinom ein »nicht-maligner Aszites« wahrscheinlich. Der Verdacht eines »malignen Aszites« bei erhöhten Cholesterin- bzw. Proteinkonzentrationen kann durch Zytologie, carcinoembryonales Antigen (CEA) oder andere Tumormarker bestätigt werden. Eine spontane oder sekundäre bakterielle Peritonitis läßt sich durch mikrobiologische Untersuchungen und erhöhte Zahl von Granulozyten im Aszites feststellen.

Differenzierung von infiziertem und nicht-infiziertem Aszites

Bei den Ursachen des infizierten Aszites ist zu unterscheiden zwischen der spontanen (SBP) und der sekundären bakteriellen Peritonitis (31). Während die Häufigkeit der SBP nach anderen und eigenen Untersuchungen etwa 10–20% beträgt, ist die sekundäre Peritonitis etwa zehnmals seltener. Da sie häufig durch eine intestinale Perforation verursacht wird, weist sie fast immer mehrere Erreger, meist Anaerobier, auf, während bei der SBP überwiegend nur ein Erreger nachzuweisen ist (24, 27, 30). In etwa zwei Drittel der Fälle handelt es sich um gramnegative Bakterien, meist *Escherichia coli*, in 20% um grampositive (Streptokokken) und in nur 10% um Anaerobier. Die SBP verläuft häufig klinisch inapparent. So fehlen Fieber, Bauchschmerz, Abwehrspannung oder verminderte Darmgeräusche bei über einem Drittel der Patienten. Wegen des häufig schweren Verlaufs mit einer bis zu 50%igen Letalität (sekundäre Peritonitis; etwa 80%) ist eine frühzeitige Entdeckung besonders wichtig. Die gelegentlich auftretenden Begleitsymptome wie Enzephalopathie, Verschlechterung der Nierenfunktion und diuretikarefraktärer Aszites können den Verdacht auf eine SBP verstärken. Der Nachweis muß jedoch mit mikrobiologischen Methoden oder anderen Parametern geführt werden. Die Sensitivität eines gramgefärbten Ausstrichs bzw. der herkömmlichen Einsendung von etwa 10 ml Aszitesflüssigkeit zur mikrobiologischen Untersuchung für die Entdeckung einer SBP beträgt nur etwa 40%. Durch direkte Inokulation von Blut- bzw. Asziteskulturflaschen mit der frisch gewonnenen Aszitesflüssigkeit kann sie auf über 90% gesteigert werden (27). Dennoch verstreicht oft wertvolle Zeit bis zum Eingang eines positiven Kulturergebnisses. Daher sind Beobachtungen von großer klinischer Bedeutung, wonach in einem infizierten Aszites meist über

500 Granulozyten/ μ l, nahezu immer aber über 250 Granulozyten/ μ l nachzuweisen sind (27). Demgegenüber haben sich pH-Wert, LDH- und Lactatkonzentration für die Diagnose einer SBP nicht allgemein durchsetzen können (7, 24, 27, 30). Es wurde jedoch berichtet, daß bei einer sekundären Peritonitis im Gegensatz zur SBP der Proteingehalt im Aszites über 1 g/dl, die Glucosekonzentration unter 50 mg/dl und die Lactatdehydrogenase unter 225 U/l liegt (1). Nach Beginn einer antibiotischen Therapie ist bei einer SBP ein exponentieller Abfall der Zellzahl zu beobachten; das ist bei einer sekundären Peritonitis im allgemeinen nicht der Fall.

Schlußfolgerung

Für die klinische Routine (Abb. 4) empfehlen wir zur Aszitesdiagnose nach Anamnese, Inspektion und körperlicher Untersuchung die Ultraschalluntersuchung. Zur differentialdiagnostischen Abgrenzung von malignem und nicht-malignem bzw. entzündlichem und nicht-entzündlichem Aszites sollten untersucht werden:

- Zellzahl und Differenzierung (Grenzwert: 250 bzw. 500 Granulozyten/ μ l),
- zytologische Untersuchung (maligne Zellen),
- Gesamteiweiß (Grenzwert 3 g/dl),
- Cholesterin (Grenzwert 45 mg/dl),
- CEA (Grenzwert 2,5 ng/ml),
- bakteriologische Untersuchung mit Inokulation von aeroben und anaeroben Blutkulturflaschen.

Für langjährige anregende Zusammenarbeit auf diesem Gebiet danken wir Prof. Dr. J. Schölmerich und Prof. Dr. D. Jüngst.

Literatur

- 1 Akriviadis, A., B. A. Runyon: Utility of an algorithm in differentiating spontaneous from secondary bacterial peritonitis. *Gastroenterology* 98 (1990), 127–133.
- 2 Boyer, T. D., A. M. Kahn, T. B. Reynolds: Diagnostic value of ascites fluid lactic dehydrogenase, protein and WBC levels. *Arch. intern. Med.* 138 (1978), 1103–1105.
- 3 Cattau, E. L., S. B. Benjamin, T. E. Knuff, D. O. Castell: The accuracy of the physical examination in the diagnosis of suspected ascites. *J. Amer. med. Ass.* 247 (1982), 1164–1166.
- 4 Colli, A., G. Buccino, M. Cocciolo, R. Parravicini, F. Mariani, G. Scaltrini: Diagnostic accuracy of fibronectin in the differential diagnosis of ascites. *Cancer (Philad.)* 58 (1986), 2489–2493.
- 5 Eimermacher, H., W. Tinnfeld, H. Prebler, P. Schuster, H. K. Beyer: Carcinoembryonales Antigen (CEA) und CEA-like Aktivität in Aszites und Pleuraergüssen. *Klin. Wschr.* 57 (1979), 575–579.
- 6 Galen, R. S., S. R. Gambino: *Beyond Normality: The Predictive Value and Efficiency of Medical Diagnosis* (John Wiley: New York 1975).
- 7 Garcia-Tsao, G., H. O. Conn, E. Lermer: The diagnosis of bacterial peritonitis. Comparison of pH, lactate concentration and leucocyte count. *Hepatology* 5 (1985), 91–96.
- 8 Garrison, R. N., I. D. Kaelin, L. S. Hauser, R. H. Galloway: Malignant ascites. Clinical and experimental observations. *Ann. Surg.* 203 (1986), 644–651.
- 9 Gerbes, A. L., D. Jüngst, Y. Xie, W. Permanetter, G. Paumgartner: Ascitic fluid analysis for the differentiation of malignancy related and nonmalignant ascites. Proposal of a diagnostic sequence. *Cancer* 68 (1991), 1808–1814.
- 10 Gerbes, A. L., R. Hoermann, K. Mann, D. Jüngst: Presence and differential diagnostic value of β -HCG in Serum and ascites. *J. Hepatol.* 16, Suppl. 1 (1992), 28.
- 11 Goldberg, B. B., G. A. Goodman, H. R. Clearfield: Evaluation of ascites by ultrasound. *Radiology* 96 (1970), 15–22.
- 12 Greene, L. S., R. Levine, M. J. Gross, S. Gordon: Distinguishing between malignant and cirrhotic ascites by computerized stepwise discriminant functional analysis of its biochemistry. *Amer. J. Gastroenterol.* 70 (1978), 448–454.
- 13 Hoefs, J. C.: Diagnostic paracentesis. A potent diagnostic tool. *Gastroenterology* 98 (1990), 230–236.
- 14 Hörmann, R., A. L. Gerbes, G. Spöttl, D. Jüngst, K. Mann: Immunoreactive human chorionic gonadotropin and its free beta-subunit in serum and ascites of patients with malignant tumors. *Cancer Res.* 52 (1992), 1520–1524.
- 15 Jüngst, D., A. L. Gerbes, R. Martin, G. Paumgartner: Value of ascitic lipids in the differentiation between cirrhotic and malignant ascites. *Hepatology* 6 (1986), 239–243.
- 16 Jüngst, D., A. L. Gerbes, G. Paumgartner: Ascitic fluid »humoral tests of malignancy« (letter). *Hepatology* 6 (1986), 1443–1445.
- 17 Jüngst, D., Y. Xie, A. L. Gerbes: Pathophysiology of elevated ascites fluid cholesterol in malignant ascites. *J. Hepatol.* 14 (1992), 244–248.
- 18 Mauer, K., N. C. Manzione: Usefulness of serum – ascites albumin difference in separating transudative from exudative ascites. Another look. *Dig. Dis. Sci.* 33 (1988), 1208–1212.
- 19 Mezger, J., W. Permanetter, A. L. Gerbes, W. Wilmanns, R. Lamerz: Tumor-associated antigens in diagnosis of serous effusions. *J. clin. Pathol.* 41 (1988), 633–643.
- 20 Mortensen, P. B., S. D. Kristensen, A. Bloch, B. A. Jacobsen, N. Rasmussen: Diagnostic value of ascitic fluid cholesterol levels in the prediction of malignancy. *Scand. J. Gastroenterol.* (1988), 1085–1088.
- 21 Paddock, F. K.: The diagnostic significance of serous fluid in disease. *New Engl. J. Med.* 223 (1940), 1010–1015.
- 22 Pare, P., J. Talbot, J. C. Hoefs: Serum-ascites albumin concentration gradient. A physiologic approach to the differential diagnosis of ascites. *Gastroenterol.* 85 (1983), 240–244.
- 23 Paumgartner, G., A. L. Gerbes: Differentialdiagnose und pathophysiologische Grundlagen des Aszites. *Chirurg* 64 (1993), 1–6.
- 24 Press, A. G., K. H. Meyer zum Büschenfelde, G. Ramadori: Die spontane bakterielle Peritonitis. *Z. Gastroenterol.* 30 (1992), 543–552.
- 25 Prieto, M., M. J. Gomez-Lechon, M. Hoyos, V. J. Castell, D. Carasco, J. Berenguer: Diagnosis of malignant ascites. Comparison of ascitic fibronectin, cholesterol and serum – ascites albumin difference. *Dig. Dis. Sci.* 33 (1988), 833–838.
- 26 Rovelstad, R. A., L. G. Bartholomew, J. C. Cain, B. F. McKenzie, E. H. Soule: The value of examination of ascitic fluid and blood for lipids and for proteins by electrophoresis. *Gastroenterology* 34 (1958), 436–450.
- 27 Runyon, B. A.: Spontaneous bacterial peritonitis: An explosion of information. *Hepatology* 8 (1988), 171–175.
- 28 Sampliner, R. E., F. L. Iber: High protein ascites in patients with uncomplicated hepatic cirrhosis. *Amer. J. med. Sci.* 267 (1974), 275–279.
- 29 Schölmerich, J., B. A. Volk, E. Köttgen, S. Ehlers, W. Gerok: Fibronectin concentration in ascites differentiates between malignant and nonmalignant ascites. *Gastroenterology* 87 (1984), 1160–1164.
- 30 Schölmerich, J.: *Aszites* (Springer: Berlin 1991).
- 31 Stassen, W. N., A. J. McCullough: Management of ascites. *Semin. Liver Dis.* 5 (1985), 291–307.
- 32 Tito, L., A. Rimola, P. Gines, J. Llach, V. Arroyo, J. Rodes: Recurrence of spontaneous bacterial peritonitis in cirrhosis. Frequency and predictive factors. *Hepatology* 8 (1988), 27–31.
- 33 Tomb, J.: A cytological study on serous fluid in cancer. *J. méd. liban.* 27 (1974), 51–58.

Privatdozent Dr. A. L. Gerbes, Prof. Dr. G. Paumgartner
 Medizinische Klinik II
 Klinikum Großhadern der Universität
 Marchioninstr. 15
 81366 München